

# La question des premières étoiles de l'Univers

Denis Puy

*Université des sciences Montpellier II -Laboratoire Univers et Particules de Montpellier*

[Denis.Puy@univ-montp2.fr](mailto:Denis.Puy@univ-montp2.fr)



*Nuit étoilé sur le Rhône – Vincent Van Gogh (1888) – Musée d'Orsay*

- Conférence publique CPPM -

Samedi 23 Novembre 2013

Centre de Physique des Particules de Marseille



WHERE THE HELL  
DID IT ALL COME  
FROM?



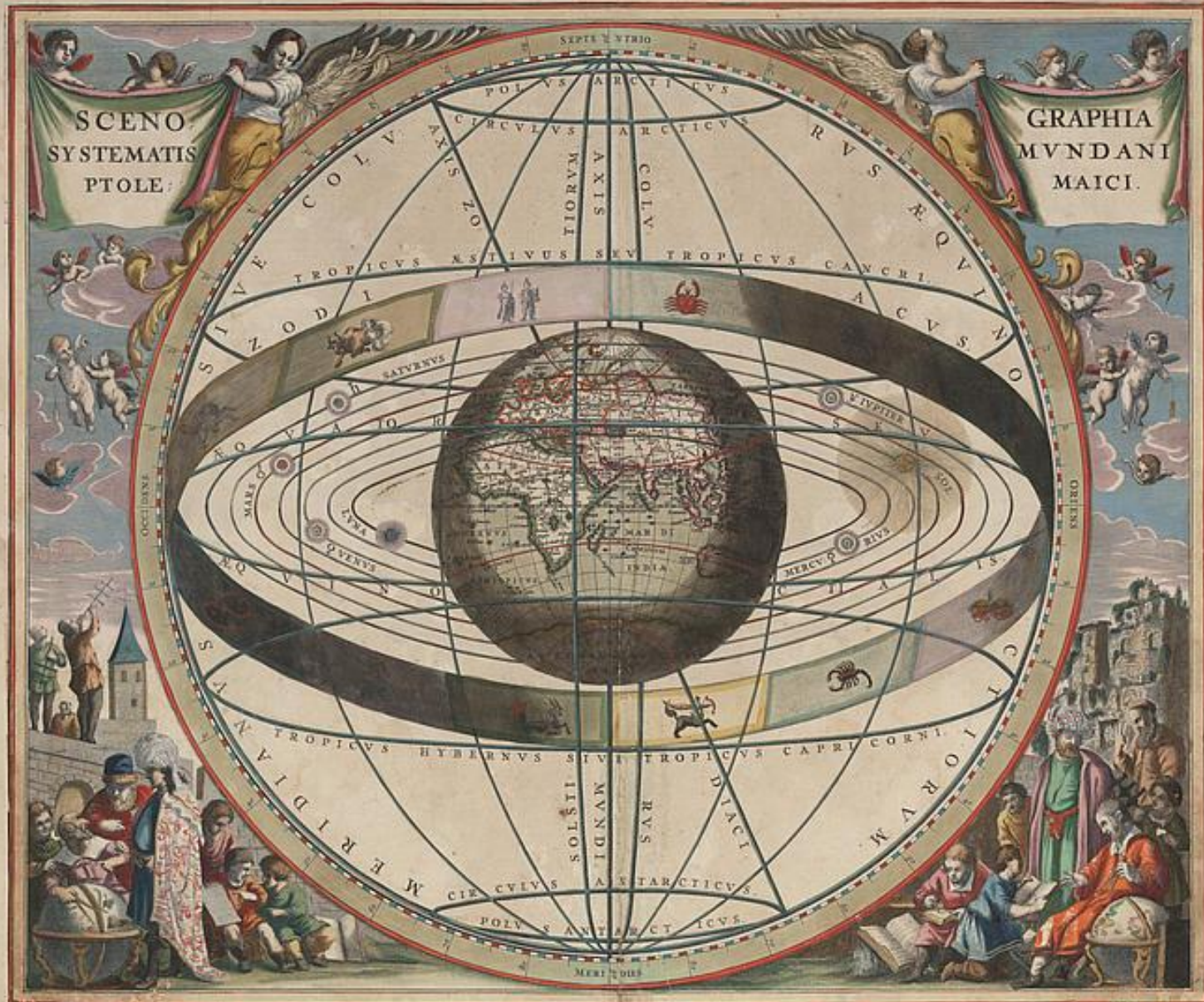
# Premières ? ... étoiles !



*La création d'Adam* (détail) – Michel Angelo (1541) – Chapelle Sixtine Rome

**Existe t'il une histoire à l'Univers ?**

# Système de Ptolémée (1543)



**Scenographia systematis mvndani Ptolemaici** – Johannes Van Loon (1660) – Theological Institute – University of Utrecht

# **Système de Copernic (140)**

# NICOLAI COPERNICI RINENSIS DE REVOLUTIONI bus orbium cœlestium, Libri VI.

IN QVIBVS STELLARVM ET FI-  
XARVM ET ERRATICARVM MOTVS, EX VET-  
ribus atq; recentibus observationib; restituit hic autor.  
Præterea tabulas expeditas luculentasq; addidit, ex quis-  
bus eisdem motus ad quodvis tempus Mathe-  
matum studiosus facilissime calcu-  
lare poterit.

ITEM. DE LIBRIS REVOLUTIONVM NICOLAI  
Copernici Narratio prima, per M. Georgium Ioachi-  
num Rheticum ad D. Ioan. Schone-  
rum scripta.



Cum Grata & Privilegio Cac. Matet.

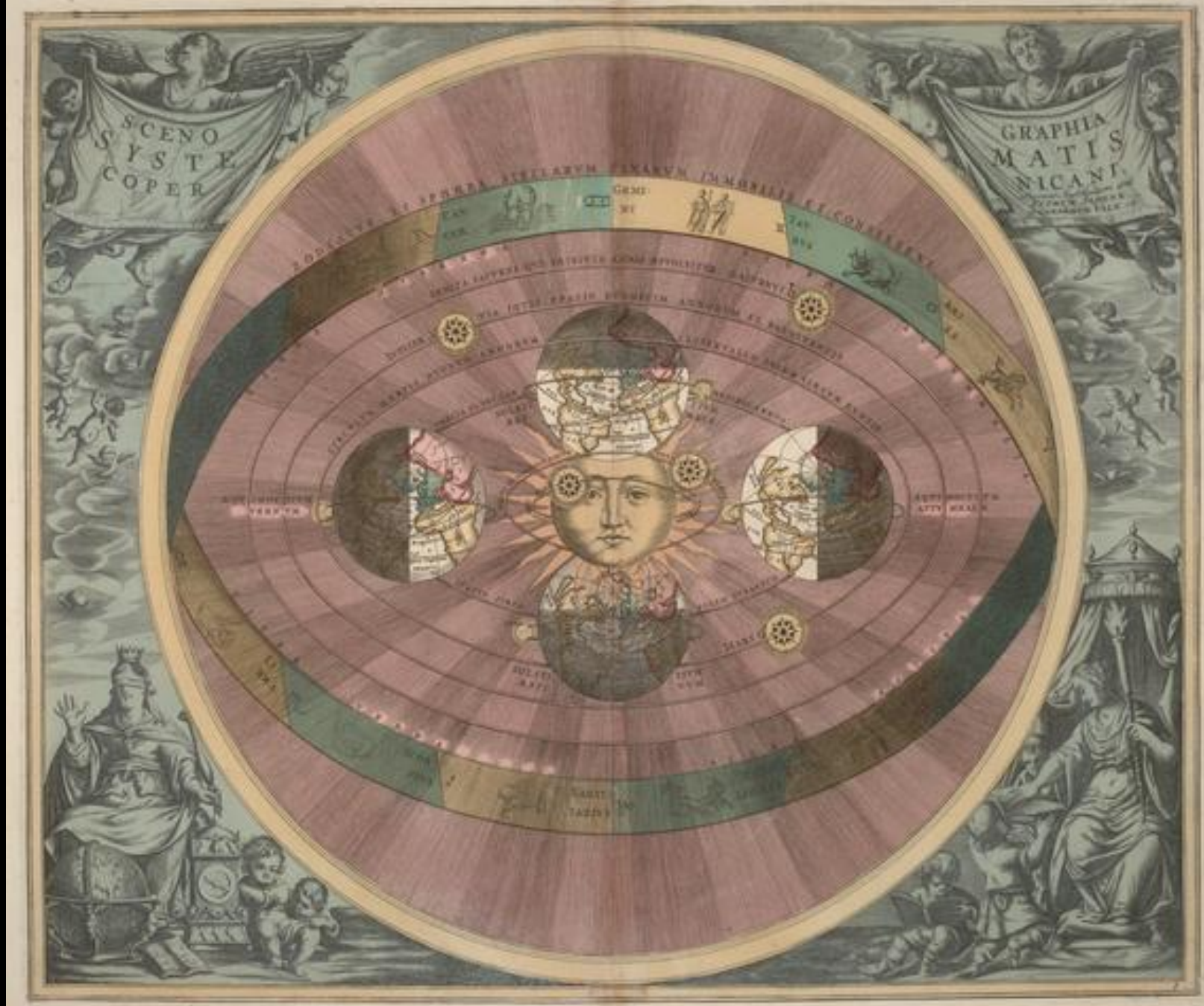
BASILEÆ, EX OFFICINA  
HENRICI PETRINA.

## NICOLAI COPERNICI

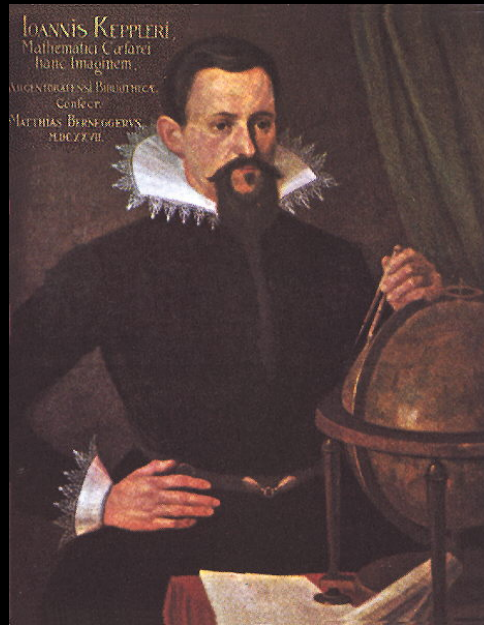
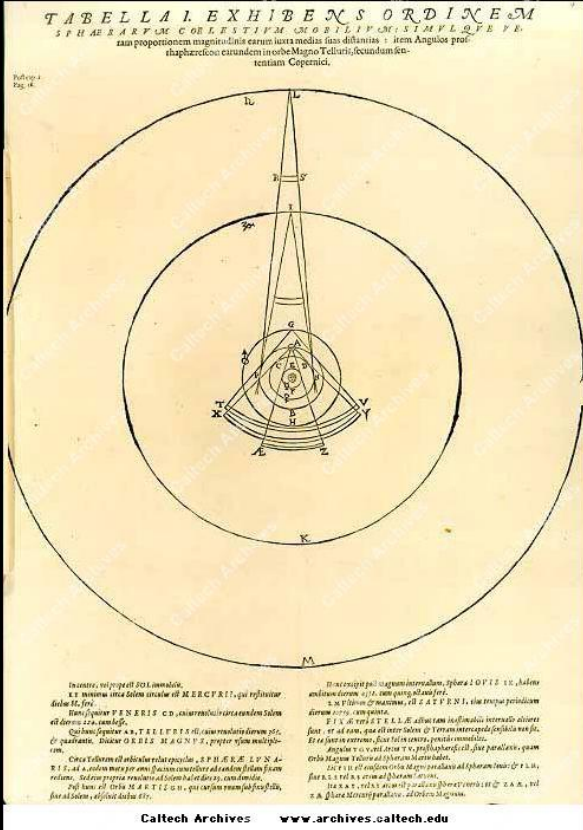
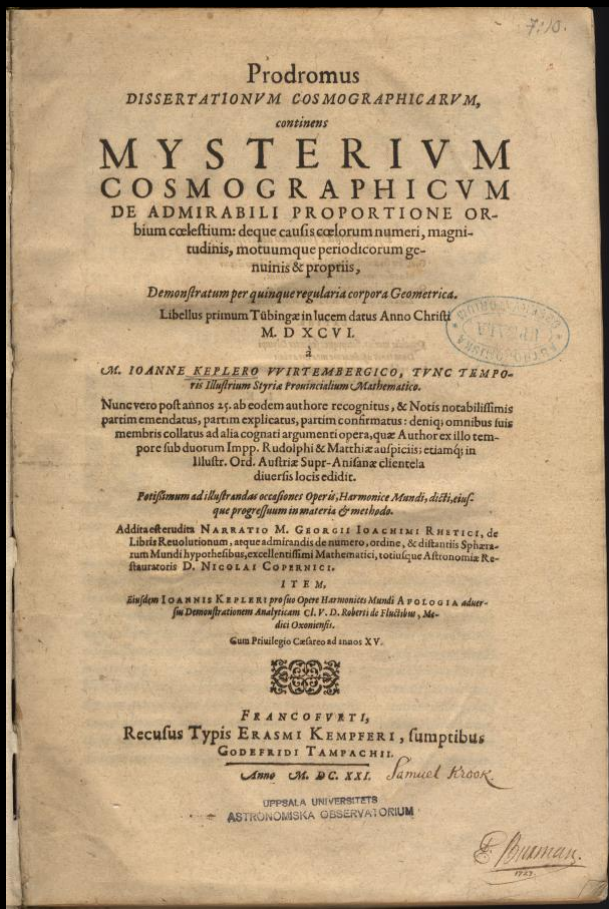
net, in quo terram cum orbe lunari tanquam epicyclo contineri  
diximus. Quinto loco Venus nono mensa reducitur. Sextum  
deniq; locum Mercurius tenet, octuaginta dierum spacio circu-  
currens. In medio uero omnium resider Sol. Quis enim in hoc



pulcherrimo templo lampadem hanc in alio uel meliori loco po-  
neret, quam unde totum simul possit illuminare? Siquidem non  
in epe quidam lucernam mundi, alijs mentem, alijs rectorem uo-  
cant. Trimegistus uisibilem Deum, Sophoclis Electra intuentem  
omnia. Ita profecto tanquam in solio regali Sol residens circum  
agentem gubernat Astrorum familiam. Tellus quoque minime  
fraudatur lunari ministerio, sed ut Aristoteles de animalibus ait,  
maximam Luna cum terra cognatione habet. Cōcipit interea à  
Sole terra, & impregnatur anno partu. Inuenimus igitur sub  
hac



**Harmonia macrocosmica** – Andreas Cellarius (1660) – Theological Institute – University of Utrecht



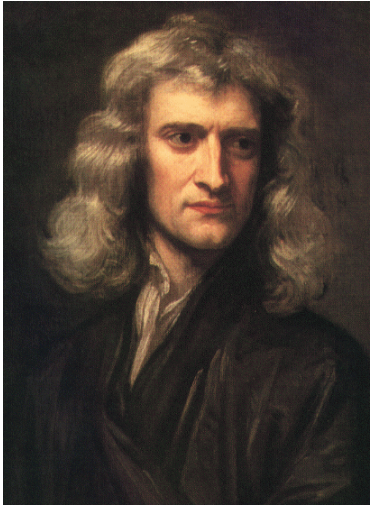
Johannes Kepler  
(1571 - 1630)

*Mysterium cosmographicum* – Johannes Kepler (1660)

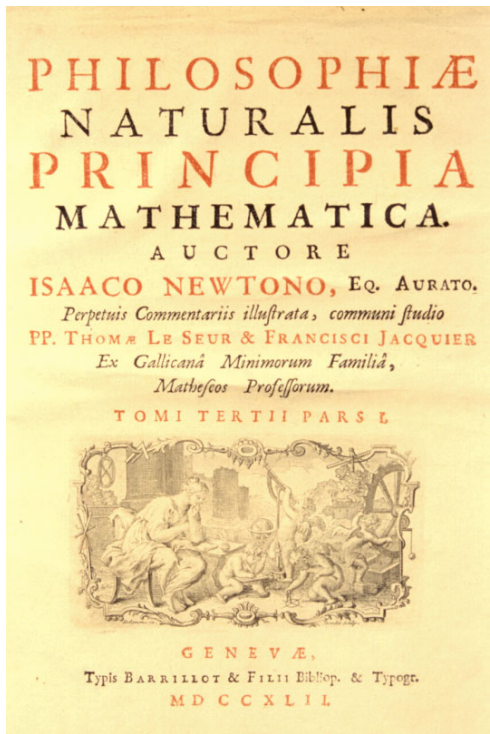
Les planètes tournent autour du Soleil suivant une trajectoire elliptique



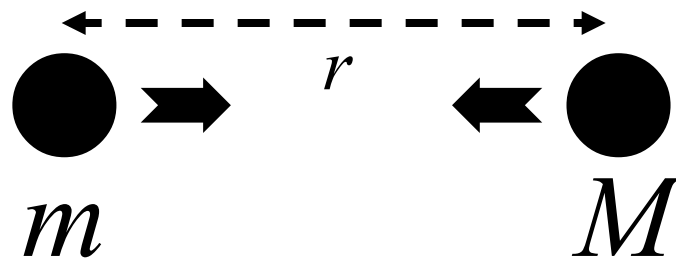
TRAJECTOIRE MATHEMATIQUE



Isaac Newton  
(1642-1727)

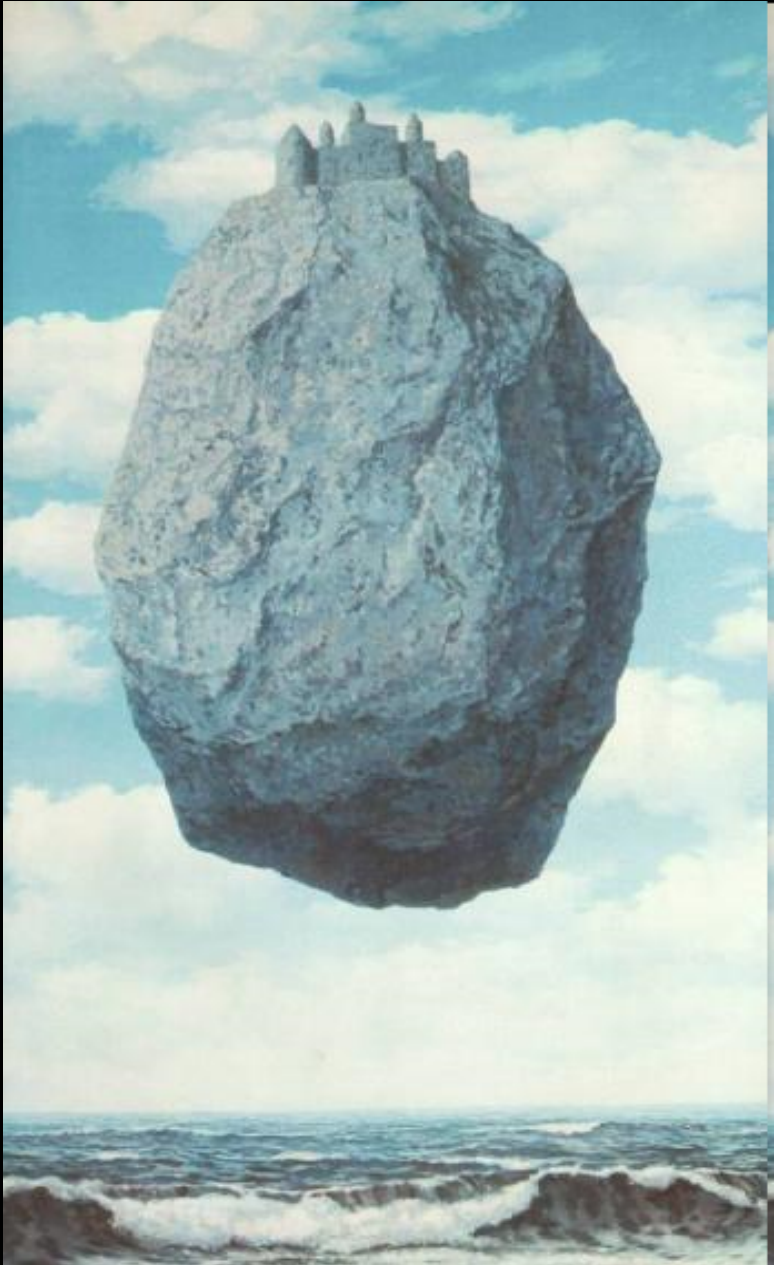


# L' EXPLICATION « THEORIQUE »



$$F = G \frac{mM}{r^2}$$

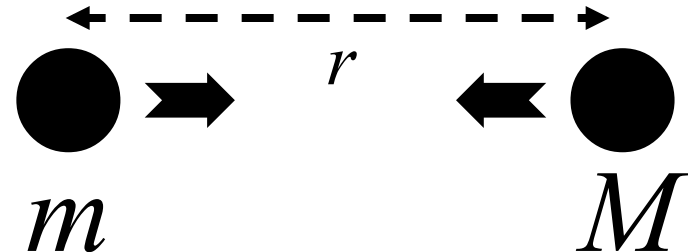
*La force d'attraction  $F$  est inversement proportionnelle à la multiplication des distances*



Origine de cette force ?  
« *nega hypothesis* »

# Newton introduit un « Monstre » !

La force F est nulle  
pour...  $r \rightarrow \infty$



$$F = G \frac{mM}{r^2}$$

**La force gravitationnelle  
est partout présente dans l' Univers !**



**Albert Einstein**  
**1879-1955**

# ALBERT EINSTEIN (1905) s' attaque à la définition de L'espace physique

Travaux sur les espaces courbes  
Des mathématiciens:



Carl Friedrich Gauss  
1777-1855

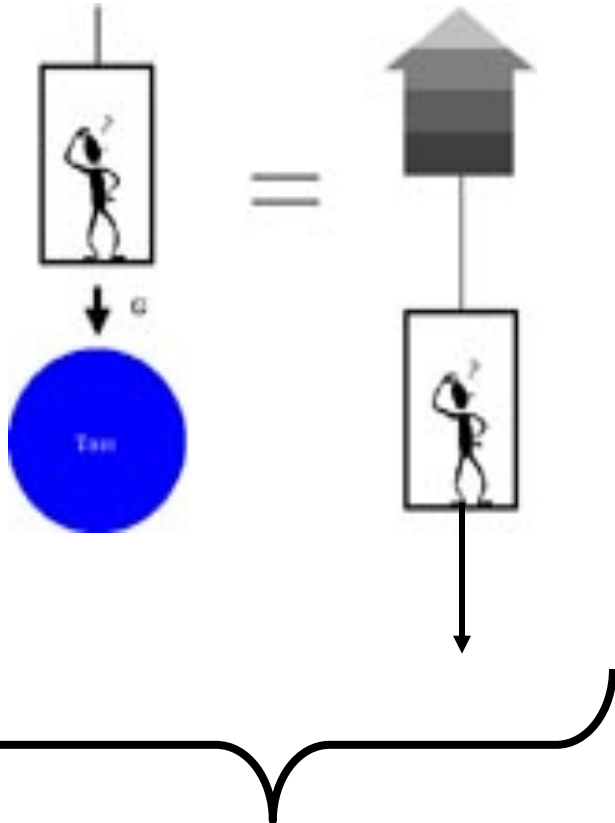


Nicolaï Lobatchevski  
1792-1856



Bernhard Riemann  
1826-1866

# PRINCIPE D' EQUIVALENCE



Aucun moyen de distinguer  
la gravitation  
d'une accélération

## QUESTION

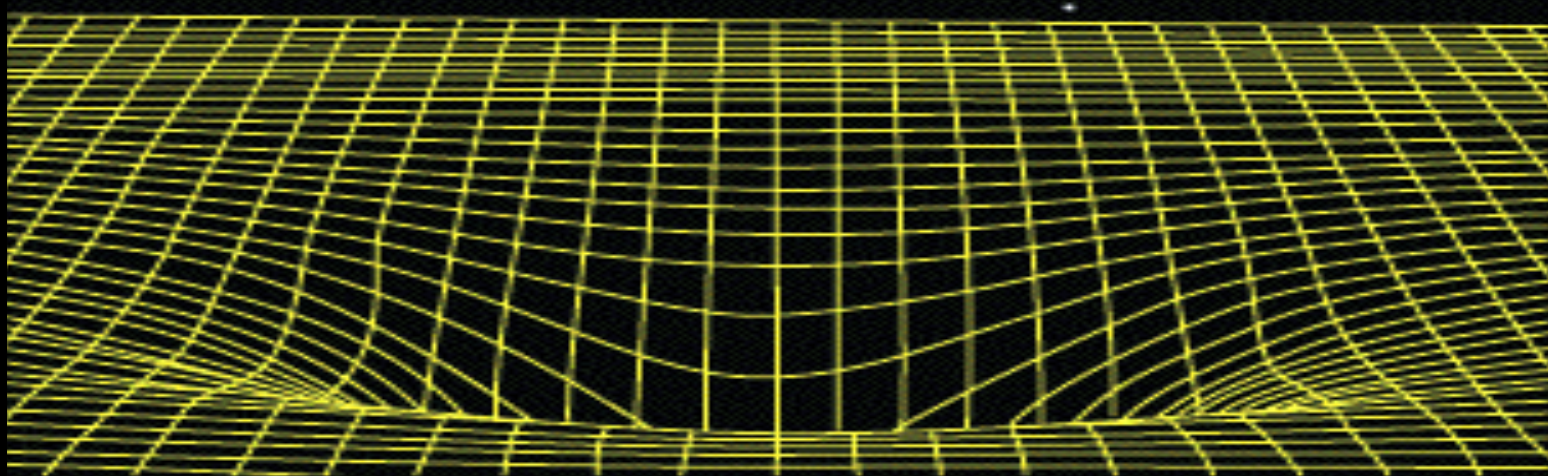
Qu'est ce que la gravité ?



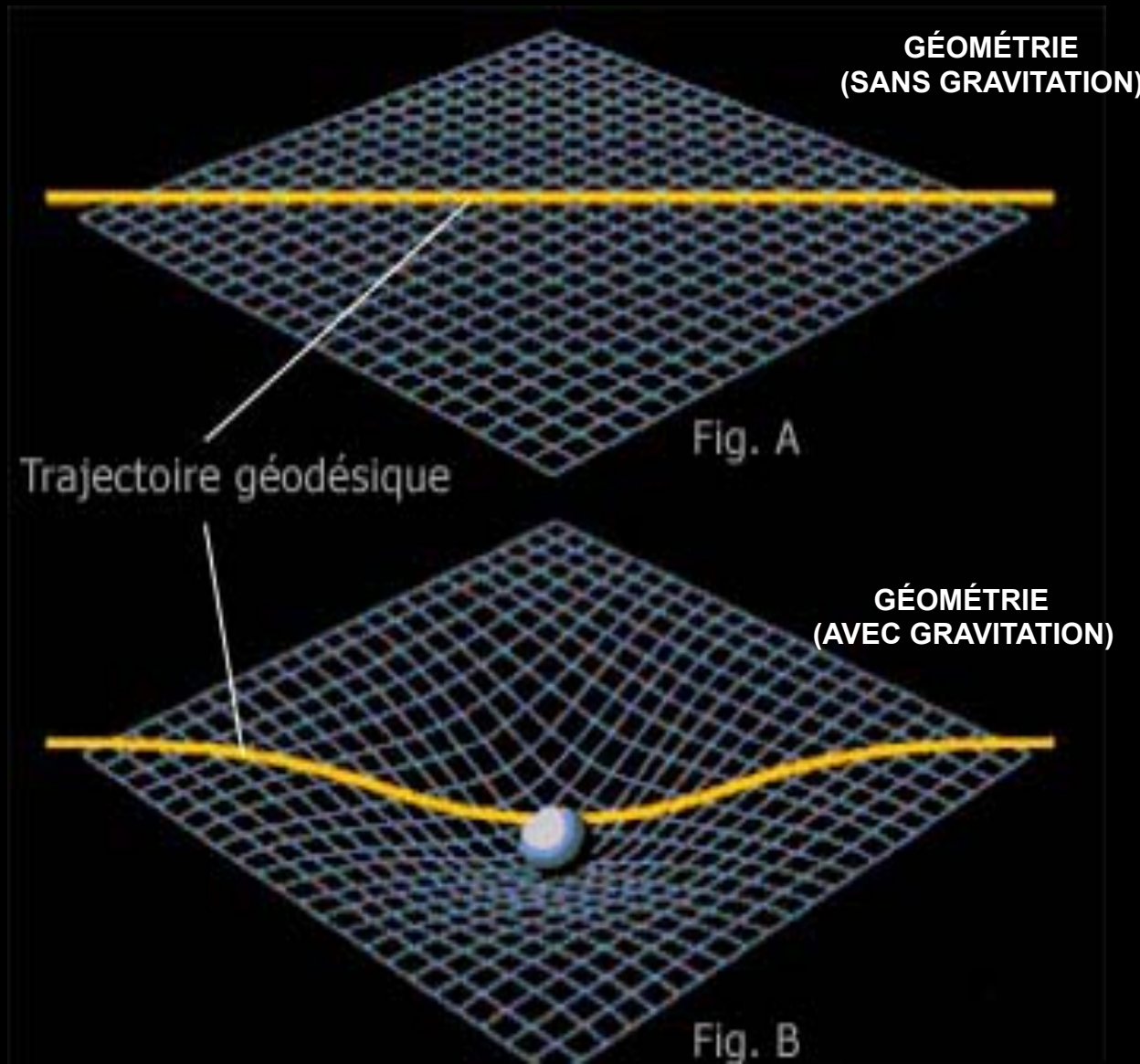
Dans la théorie Newtonienne  
Les masses sont des objets ponctuels  
qui s'attirent en eux

# Dans la théorie d'Einstein

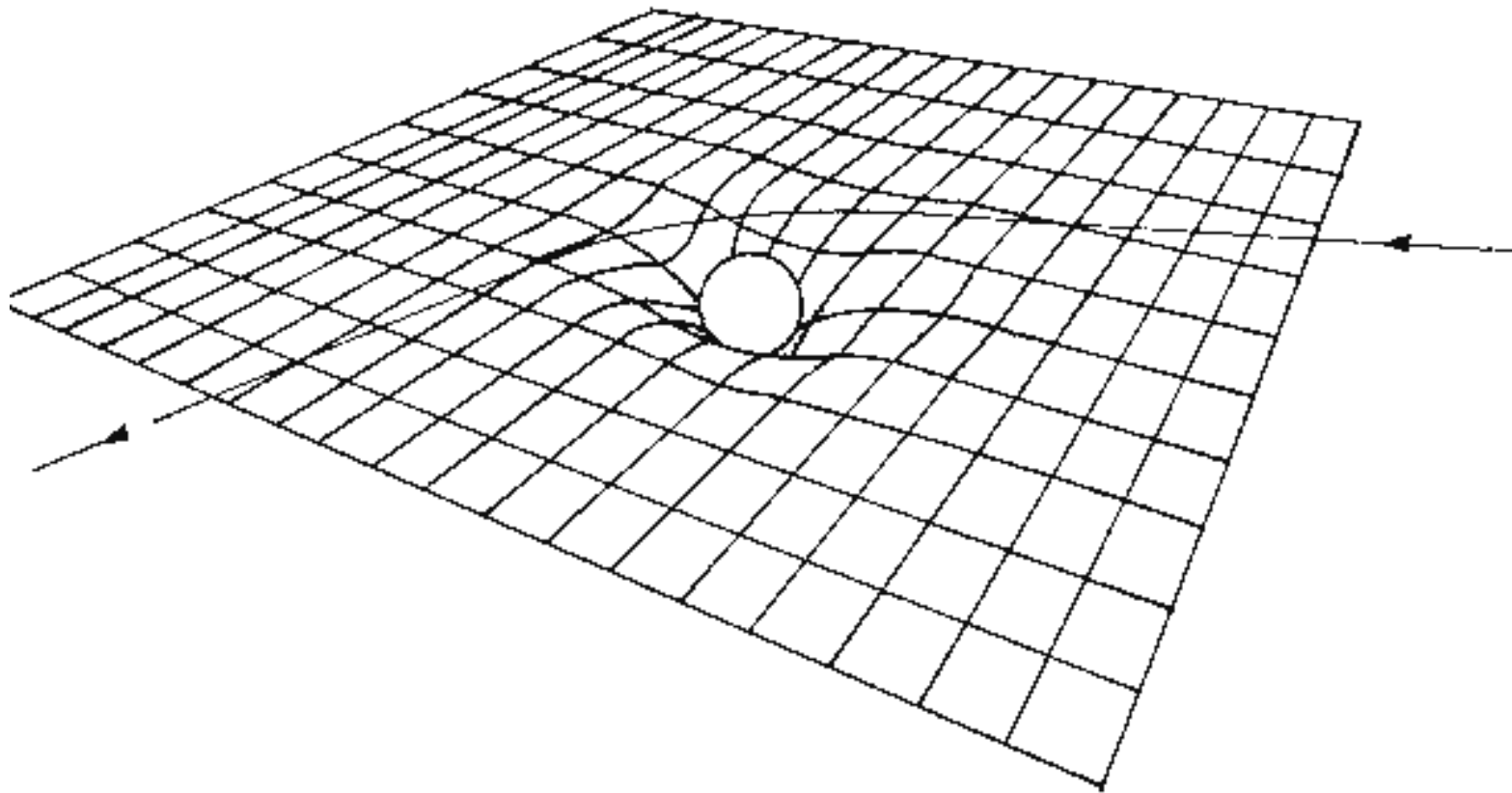
**Les masses sont  
des courbures  
de l'espace**



# La gravitation est prise comme une déformation de l' espace physique (i.e. l' Univers)



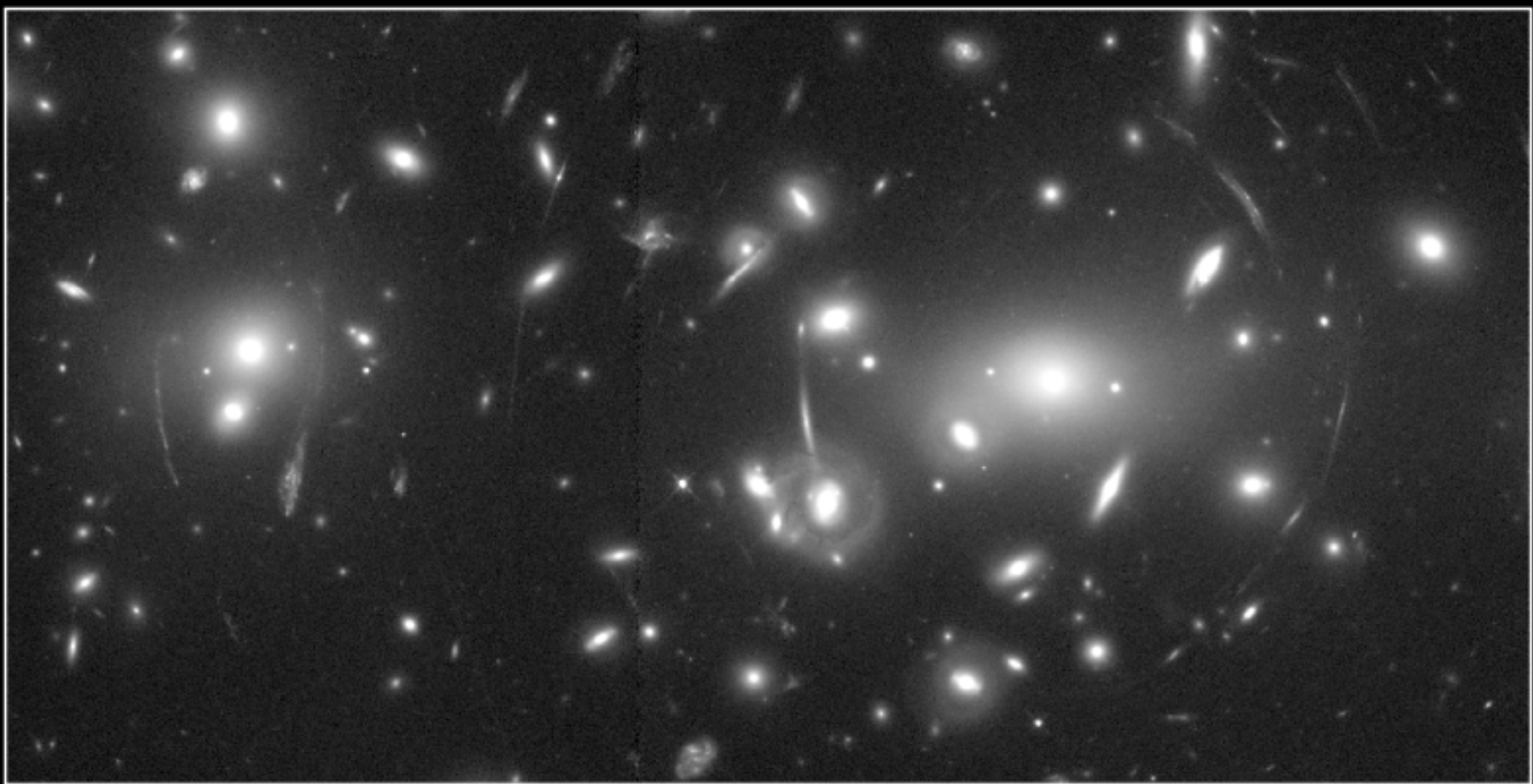
# Conséquence: courbure de la lumière



Une masse  
courbe  
l'espace environnant



Courbure de la trajectoire  
d'un rayon lumineux

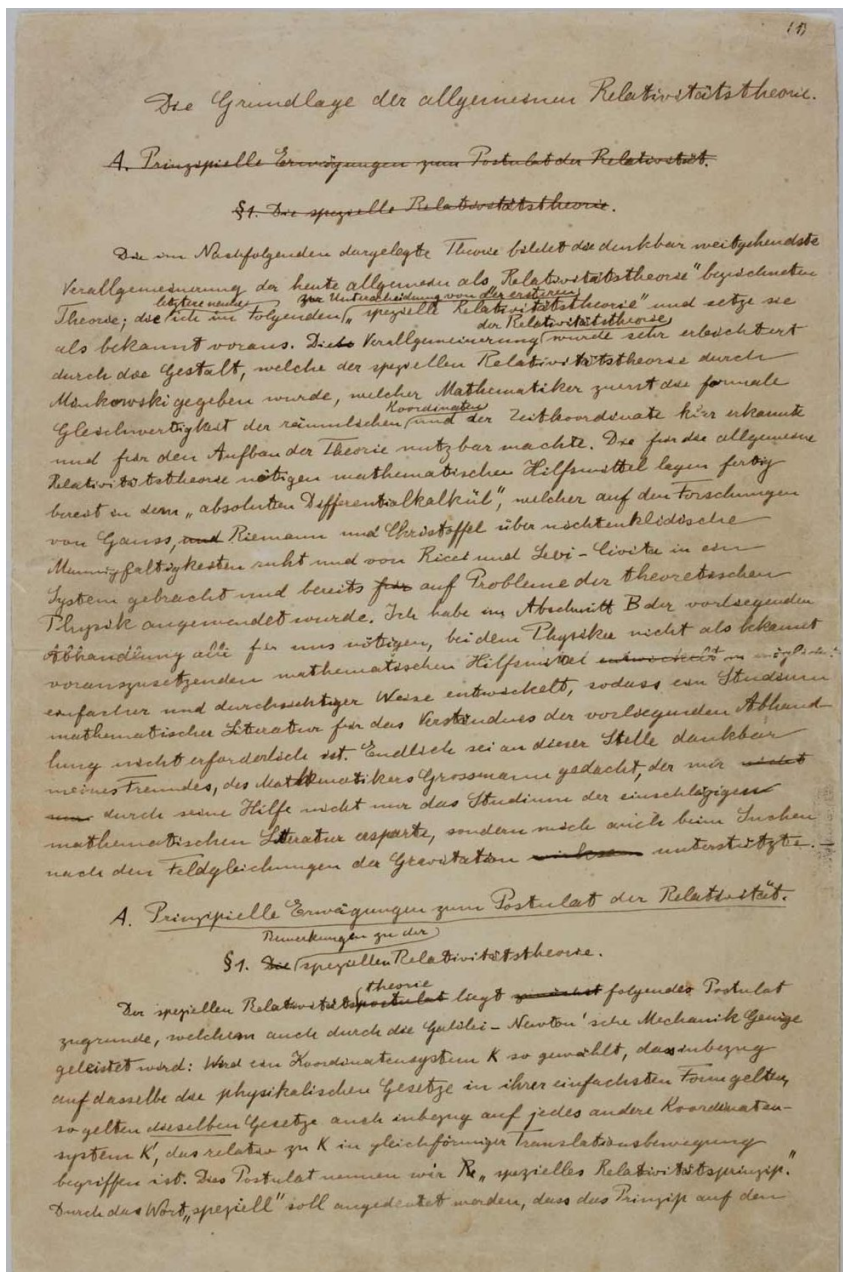


## Gravitational Lens in Abell 2218

PF95-14 · ST Scl OPO · April 5, 1995 · W. Couch (UNSW), NASA

HST · WFPC2

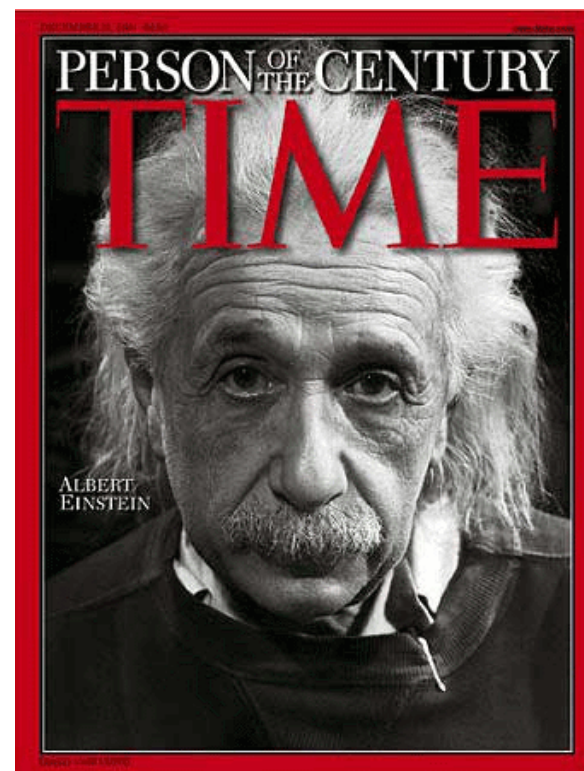
# Die Grundlage der allgemeinen Relativitätstheorie. (Base de la relativité générale, 1916)



$$R_{\mu\nu} - \frac{1}{2}g_{\mu\nu}R - \Lambda g_{\mu\nu} = \frac{8\pi G}{c^4}T_{\mu\nu}$$

Contenant géométrique

Contenu énergétique



A. Einstein

$$R_{\mu\nu} - g_{\mu\nu} \left( \frac{1}{2} R_S + \Lambda \right) = -8\pi G T_{\mu\nu},$$

GÉOMÉTRIE DE L'UNIVERS

**LE CONTENANT**

L'ENERGIE DE L'UNIVERS

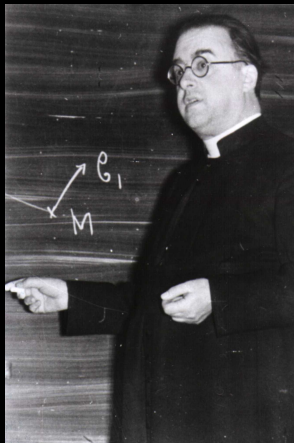
**LE CONTENU**

**Théorie de la relativité générale**  
**La gravité structure l'espace !**

# GÉNÉRALISATION DES ÉQUATIONS D'EINSTEIN



Alexander Friedmann  
1888-1925

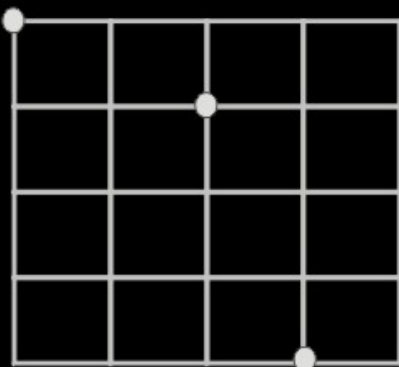
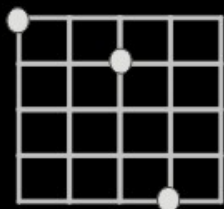


Georges Lemaître  
1894-1966

Possibilité que l' Univers soit  
non statique !



Les distances  
entre objets varient  
au cours du temps



Expansion de l' Univers !



l' espace entre les objets  
croît au cours du temps

## Letters to the Editor

**P**UBLICATION of brief reports of important discoveries in physics may be secured by addressing them to this department. The closing date for this department is five weeks prior to the date of issue. No proof will be sent to the authors. The Board of Editors does not hold itself responsible for the opinions expressed by the correspondents. Communications should not exceed 600 words in length.

### The Origin of Chemical Elements

R. A. ALPHER\*

Applied Physics Laboratory, The Johns Hopkins University,  
Silver Spring, Maryland

AND

H. BETHE

Cornell University, Ithaca, New York

AND

G. GAMOW

The George Washington University, Washington, D. C.  
February 18, 1948

A S pointed out by one of us,<sup>1</sup> various nuclear species must have originated not as the result of an equilibrium corresponding to a certain temperature and density, but rather as a consequence of a continuous building-up process arrested by a rapid expansion and cooling of the primordial matter. According to this picture, we must imagine the early stage of matter as a highly compressed neutron gas (overheated neutral nuclear fluid) which started decaying into protons and electrons when the gas pressure fell down as the result of universal expansion. The radiative capture of the still remaining neutrons by the newly formed protons must have led first to the formation of deuterium nuclei, and the subsequent neutron captures resulted in the building up of heavier and heavier nuclei. It must be remembered that, due to the comparatively short time allowed for this process,<sup>1</sup> the building up of heavier nuclei must have proceeded just above the upper fringe of the stable elements (short-lived Fermi elements), and the present frequency distribution of various atomic species was attained only somewhat later as the result of adjustment of their electric charges by  $\beta$ -decay.

Thus the observed slope of the abundance curve must not be related to the temperature of the original neutron gas, but rather to the time period permitted by the expansion process. Also, the individual abundances of various nuclear species must depend not so much on their intrinsic stabilities (mass defects) as on the values of their neutron capture cross sections. The equations governing such a building-up process apparently can be written in the form:

$$\frac{dn_i}{dt} = f(t)(\sigma_{i-1}n_{i-1} - \sigma_i n_i) \quad i = 1, 2, \dots, 238, \quad (1)$$

where  $n_i$  and  $\sigma_i$  are the relative numbers and capture cross sections for the nuclei of atomic weight  $i$ , and where  $f(t)$  is a factor characterizing the decrease of the density with time.

We may remark at first that the building-up process was apparently completed when the temperature of the neutron gas was still rather high, since otherwise the observed abundances would have been strongly affected by the resonances in the region of the slow neutrons. According to Hughes,<sup>2</sup> the neutron capture cross sections of various elements (for neutron energies of about 1 Mev) increase exponentially with atomic number halfway up the periodic system, remaining approximately constant for heavier elements.

Using these cross sections, one finds by integrating Eqs. (1) as shown in Fig. 1 that the relative abundances of various nuclear species decrease rapidly for the lighter elements and remain approximately constant for the elements heavier than silver. In order to fit the calculated curve with the observed abundances<sup>3</sup> it is necessary to assume the integral of  $\rho_0 dt$  during the building-up period is equal to  $5 \times 10^4$  g sec./cm<sup>3</sup>.

On the other hand, according to the relativistic theory of the expanding universe<sup>4</sup> the density dependence on time is given by  $\rho \cong 10^6/t^2$ . Since the integral of this expression diverges at  $t = 0$ , it is necessary to assume that the building-up process began at a certain time  $t_0$ , satisfying the relation:

$$\int_{t_0}^{\infty} (10^6/t^2) dt \cong 5 \times 10^4, \quad (2)$$

which gives us  $t_0 \cong 20$  sec. and  $\rho_0 \cong 2.5 \times 10^6$  g sec./cm<sup>3</sup>. This result may have two meanings: (a) for the higher densities existing prior to that time the temperature of the neutron gas was so high that no aggregation was taking place, (b) the density of the universe never exceeded the value  $2.5 \times 10^6$  g sec./cm<sup>3</sup> which can possibly be understood if we

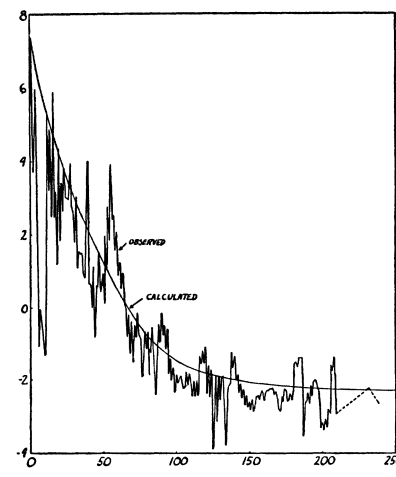


FIG. 1.  
Log of relative abundance  
Atomic weight

# L'invention d'une histoire à l'Univers (1948)



# L'article α β γ

# A une époque antérieure

**Si l'Univers se dilue au cours du temps  
alors antérieurement**



Georges Gamow  
1904-1968

**diamètre de l'Univers plus petit  
température plus importante  
densité plus importante**



**Conditions physiques différentes**

**L'Univers évolue !**



**L'idée de première chose**

# Univers en expansion !!!

## Succession de transitions de phases

15 thousand million years

1 thousand million years

300 thousand years

3 minutes

1 second

$10^{-10}$  seconds

$10^{-34}$  seconds

$10^{-43}$  seconds

$10^{32}$  degrees

$10^{27}$  degrees

$10^{15}$  degrees

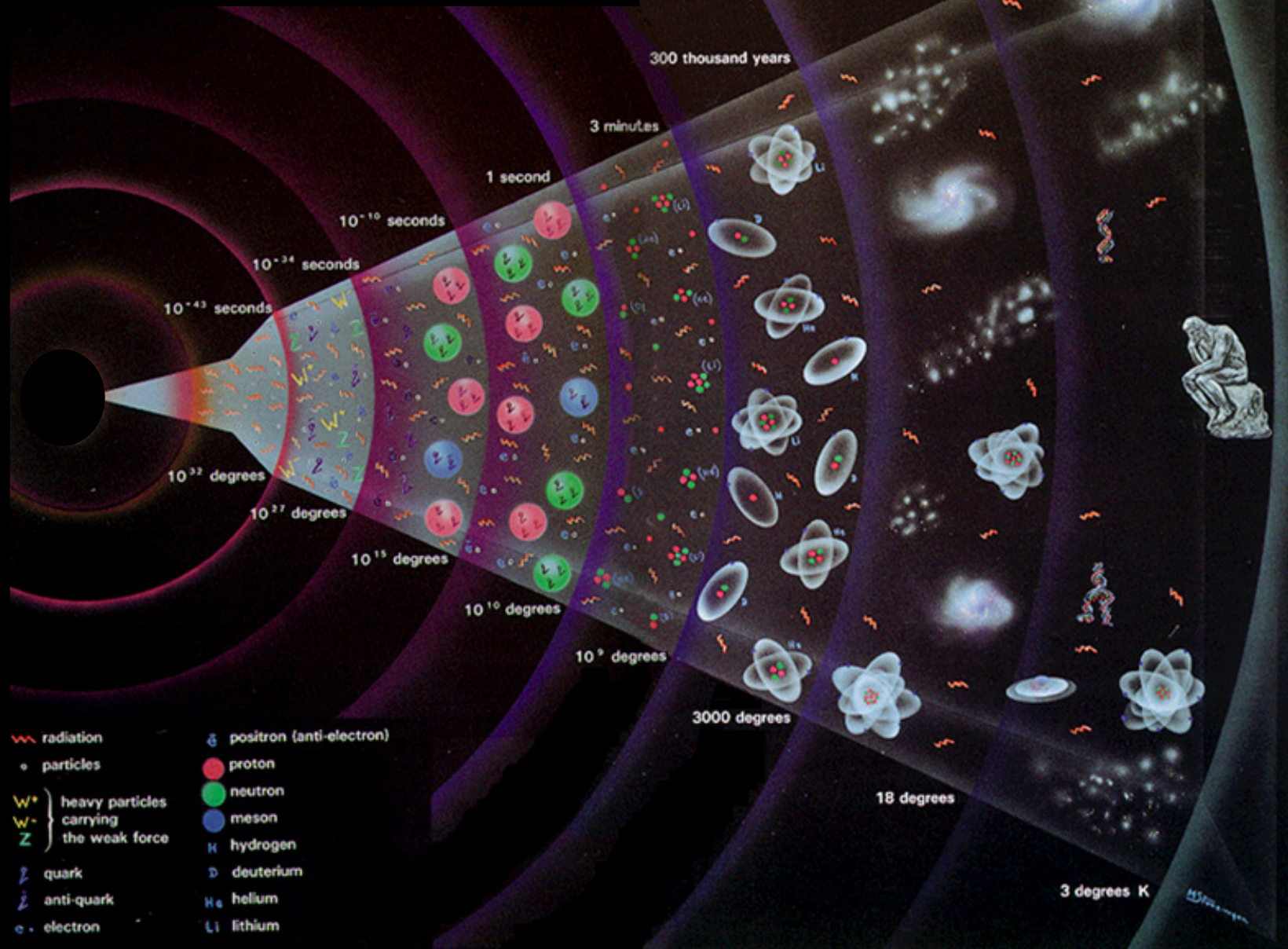
$10^{10}$  degrees

$10^9$  degrees

3000 degrees

18 degrees

3 degrees K



# Formation des premiers noyaux

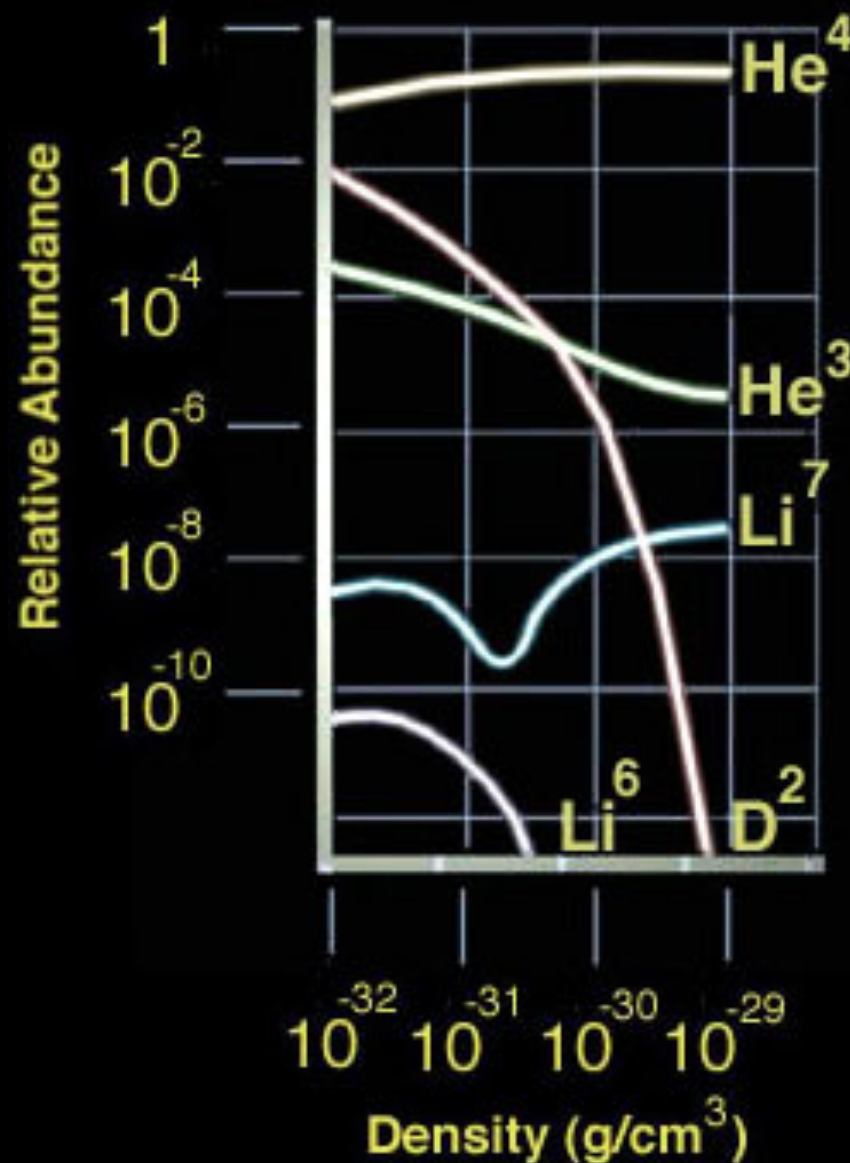
$H \sim 89\%$

$He \approx 11\%$

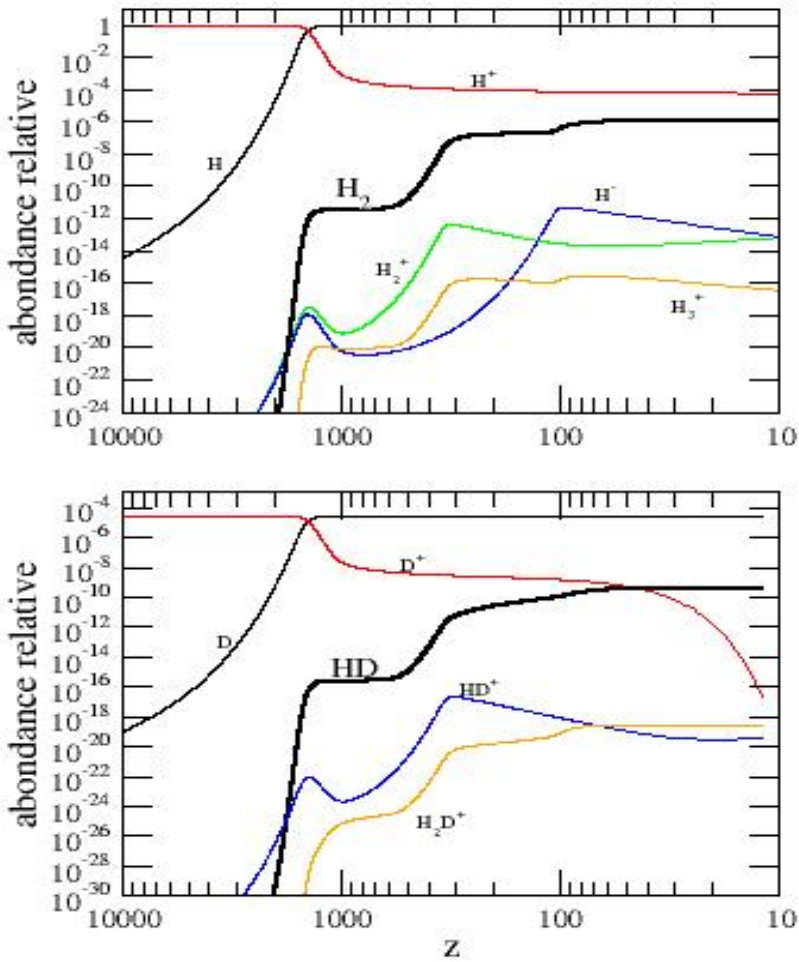
$Li \approx 3 \times 10^{-5}\%$

$D \approx 3 \times 10^{-10}\%$

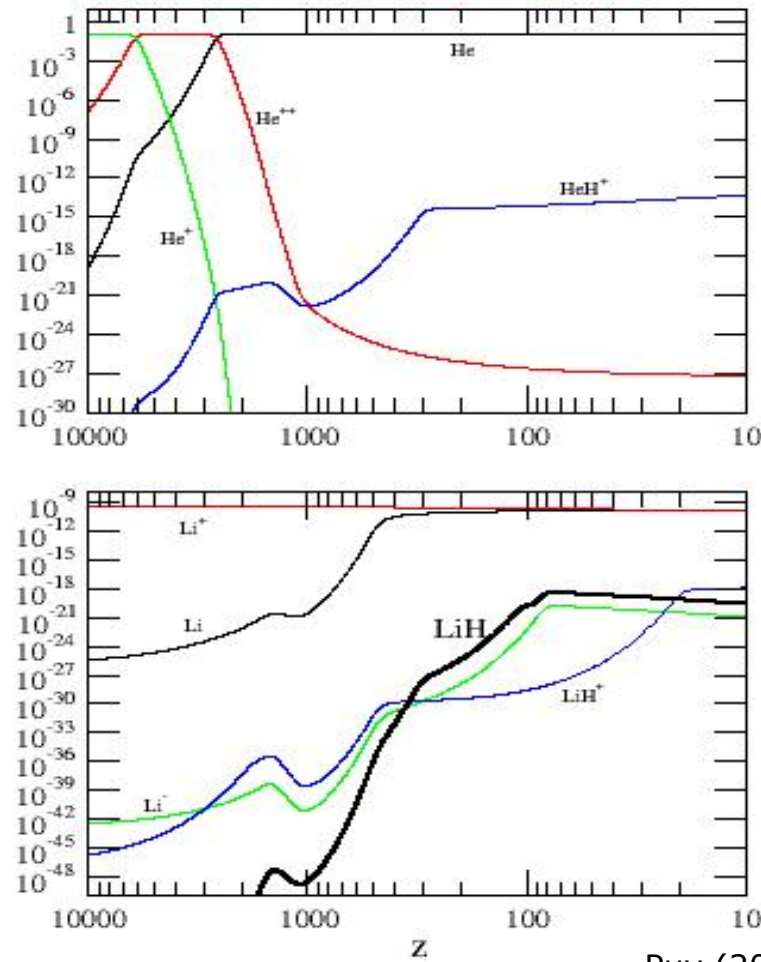
À  $t \sim 5$  minutes



$z=10\ 000$  ( $t \sim 7000$  ans)  
 $z=1000$  ( $t \sim 450\ 000$  ans)



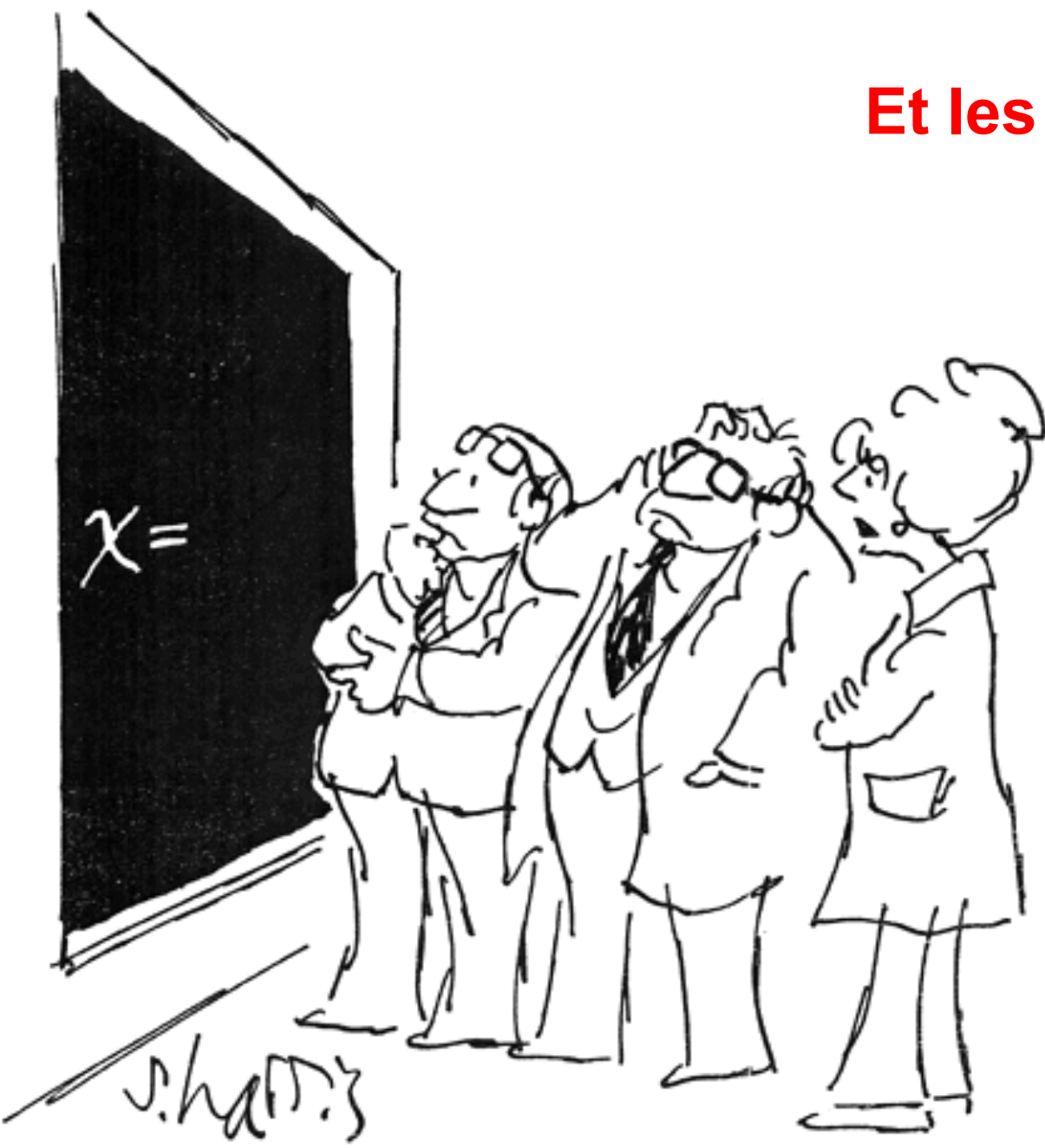
$z=100$  ( $t=17$  millions d'années)  
 $z=10$  ( $t=555$  millions d'années)  
 $z=0$  ( $t=13.6$  milliards d'années)



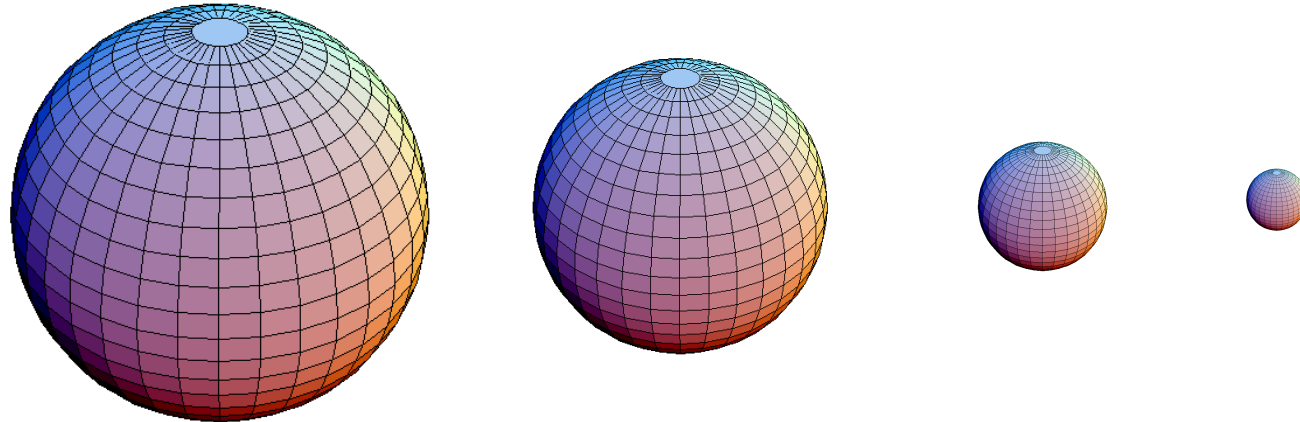
Puy (2001)

**Les molécules  $H_2$  ,  $HD$  et  $LiH$   
apparaissent à un age d'Univers de 450 000 ans  
(bien avant les premières structures)**

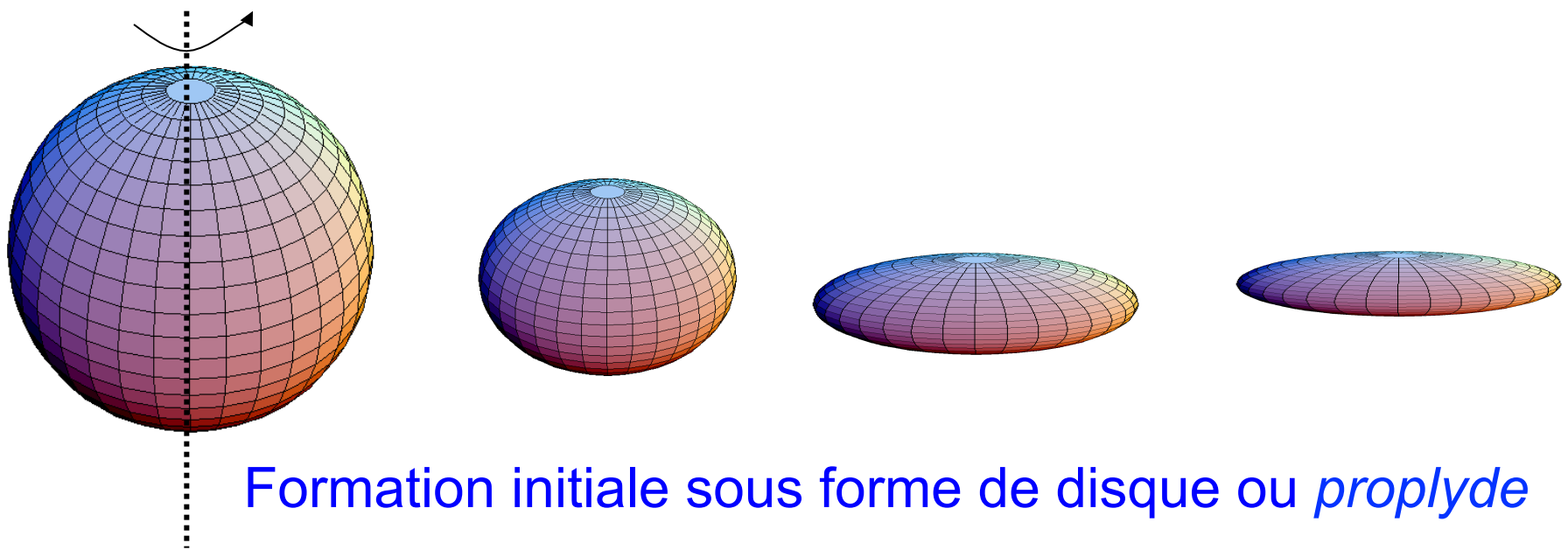
**Et les étoiles ?**



## Effondrement sphérique

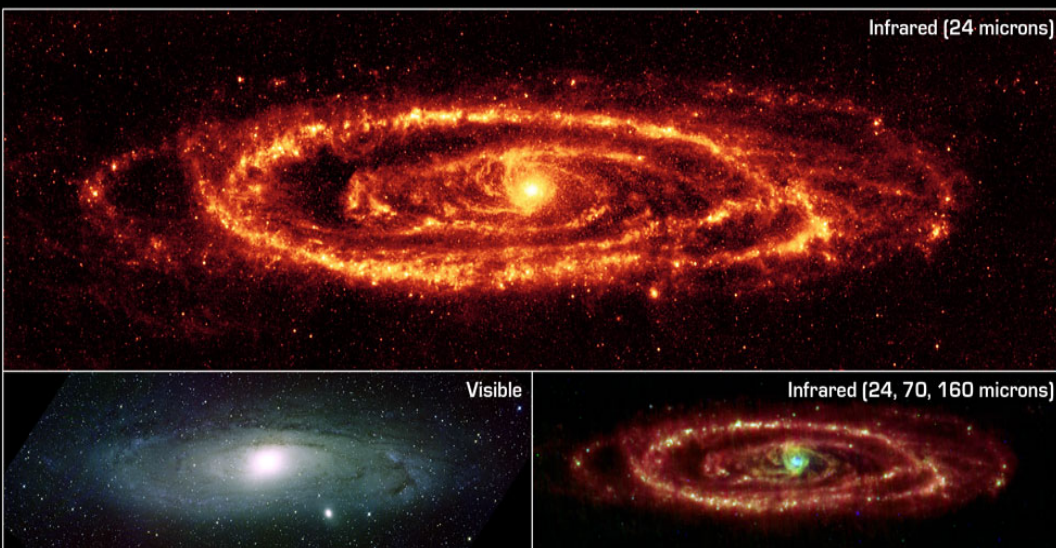


Peu réaliste... généralement constitution d'un axe de rotation  
(inhomogénéité)



Formation initiale sous forme de disque ou *proplyde*

# Les systèmes astrophysiques sont relativement plats



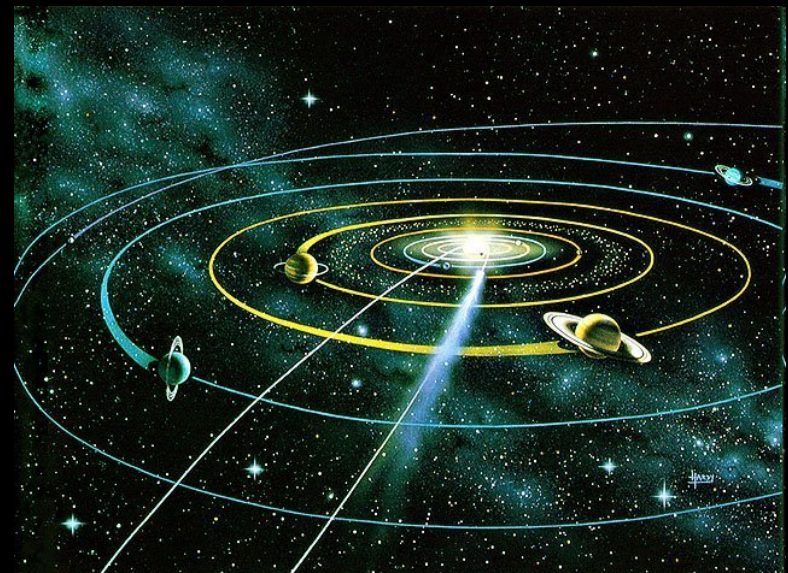
Dust in Andromeda Galaxy (M31)

NASA / JPL-Caltech / K. Gordon (University of Arizona)

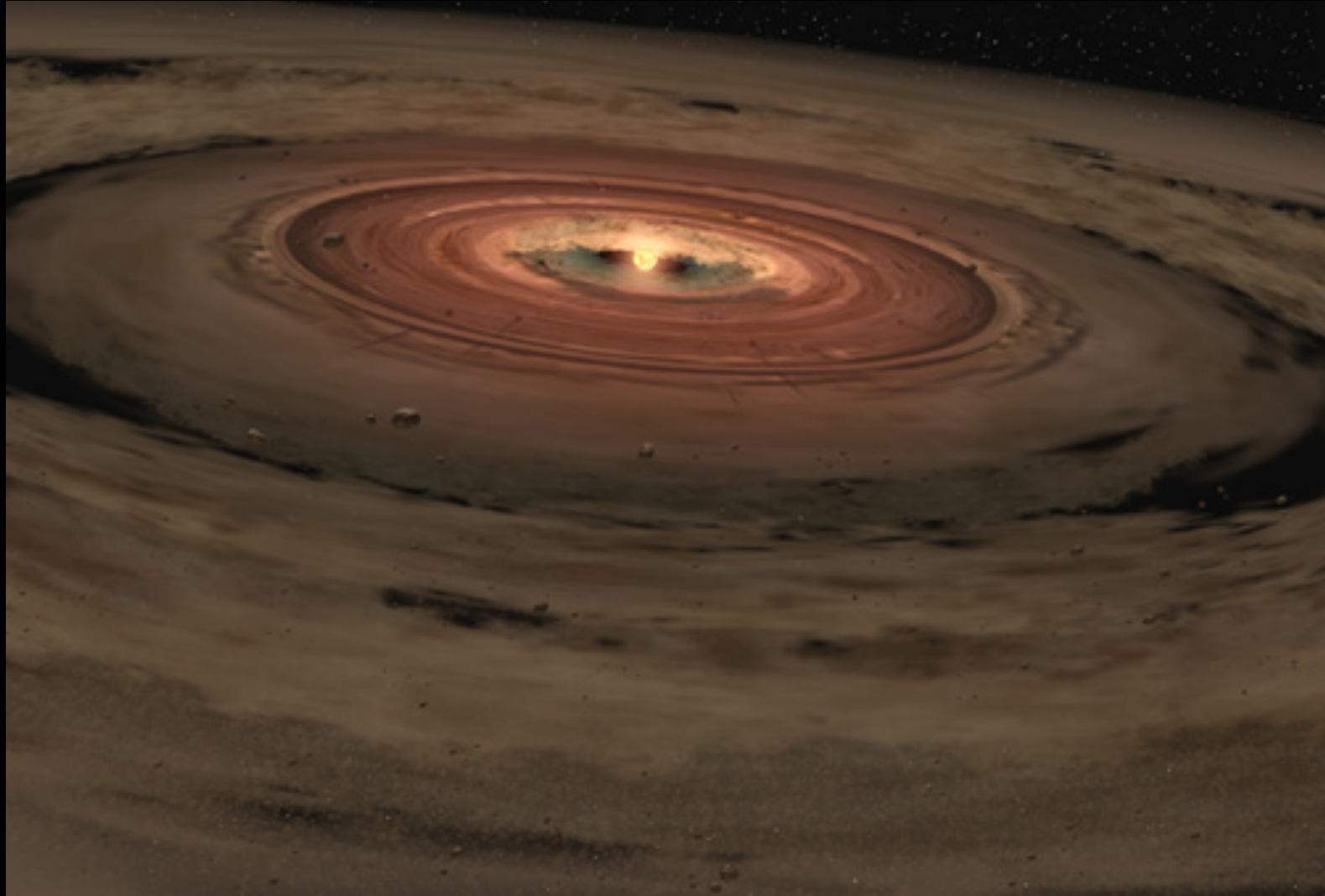
Spitzer Space Telescope • MIPS

Visible: NOAO

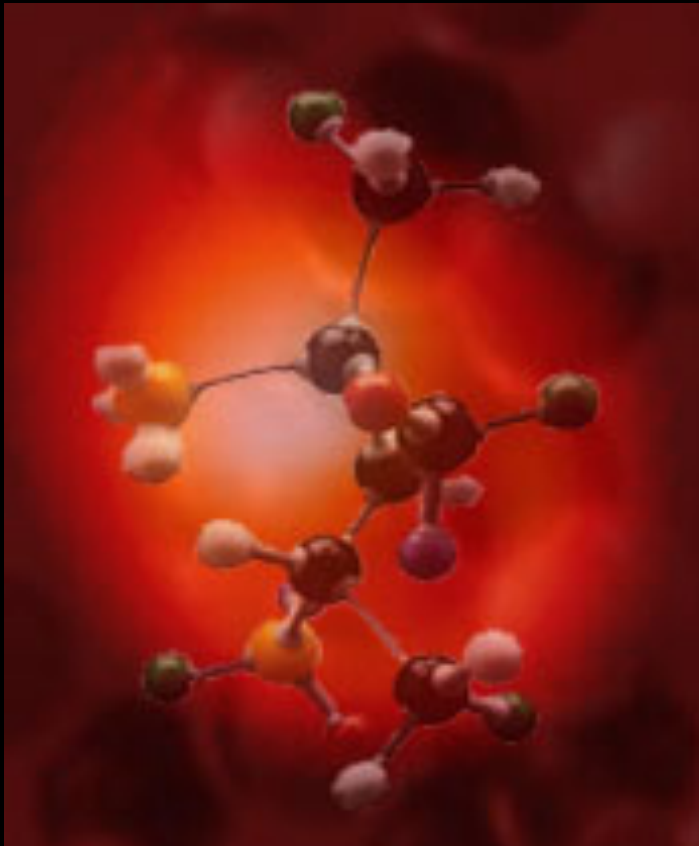
ssc2005-20a

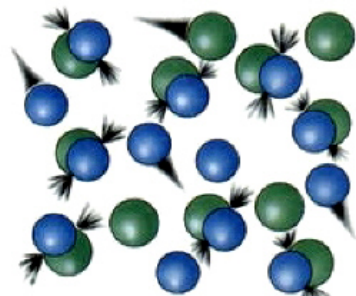
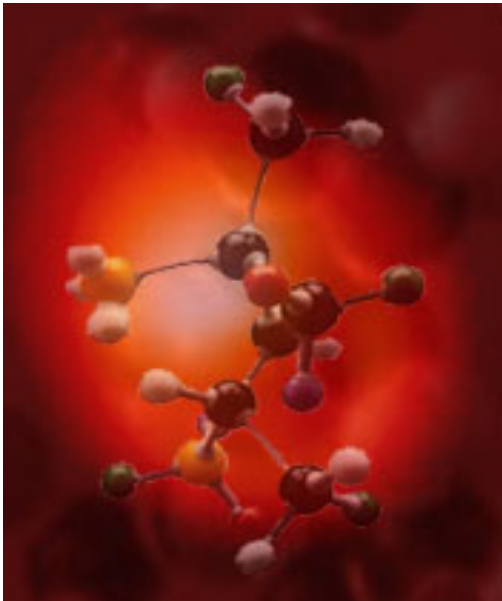


La gravité n' a pas d' échelles préférentielles

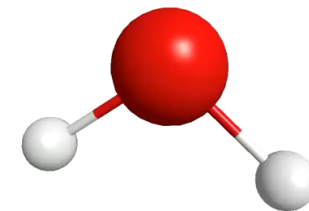


Les molécules peuvent jouer un rôle dans le processus d'effondrement gravitationnel

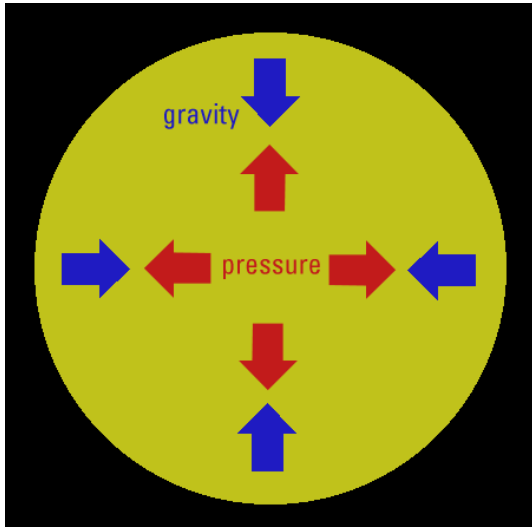




Une molécule peut vibrer  
après une collision

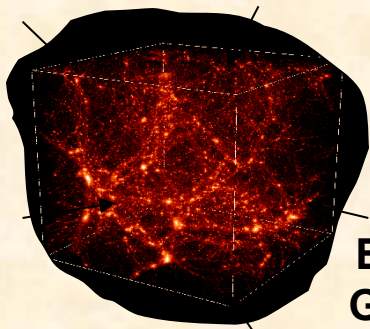


L'effondrement gravitationnel  
va provoquer des collisions

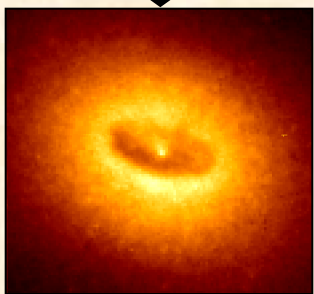


Les molécules peuvent refroidir localement  
↓  
Diminution de la pression locale  
↓  
La gravité a moins de résistance  
↓  
FRAGMENTATION DE LA STRUCTURE EN  
EFFONDREMENT  
↓  
FORMATION DE SOUS-STRUCTURES

### SCENARIO SANS MOLECULES

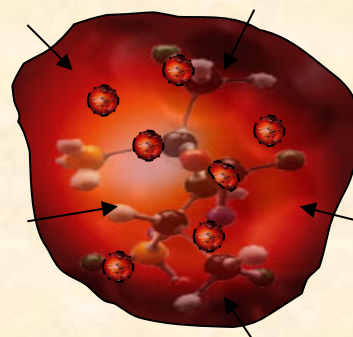


EFFONDREMENT  
GRAVITATIONNEL

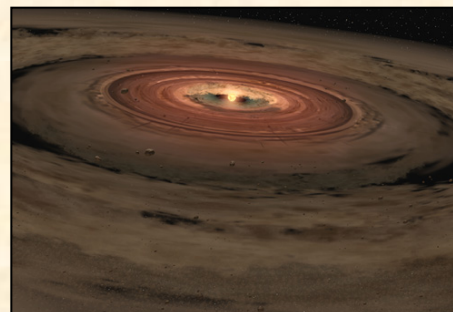


FORMATION  
D'UN DISQUE  
DE GRANDE  
TAILLE

### SCENARIO AVEC MOLECULES

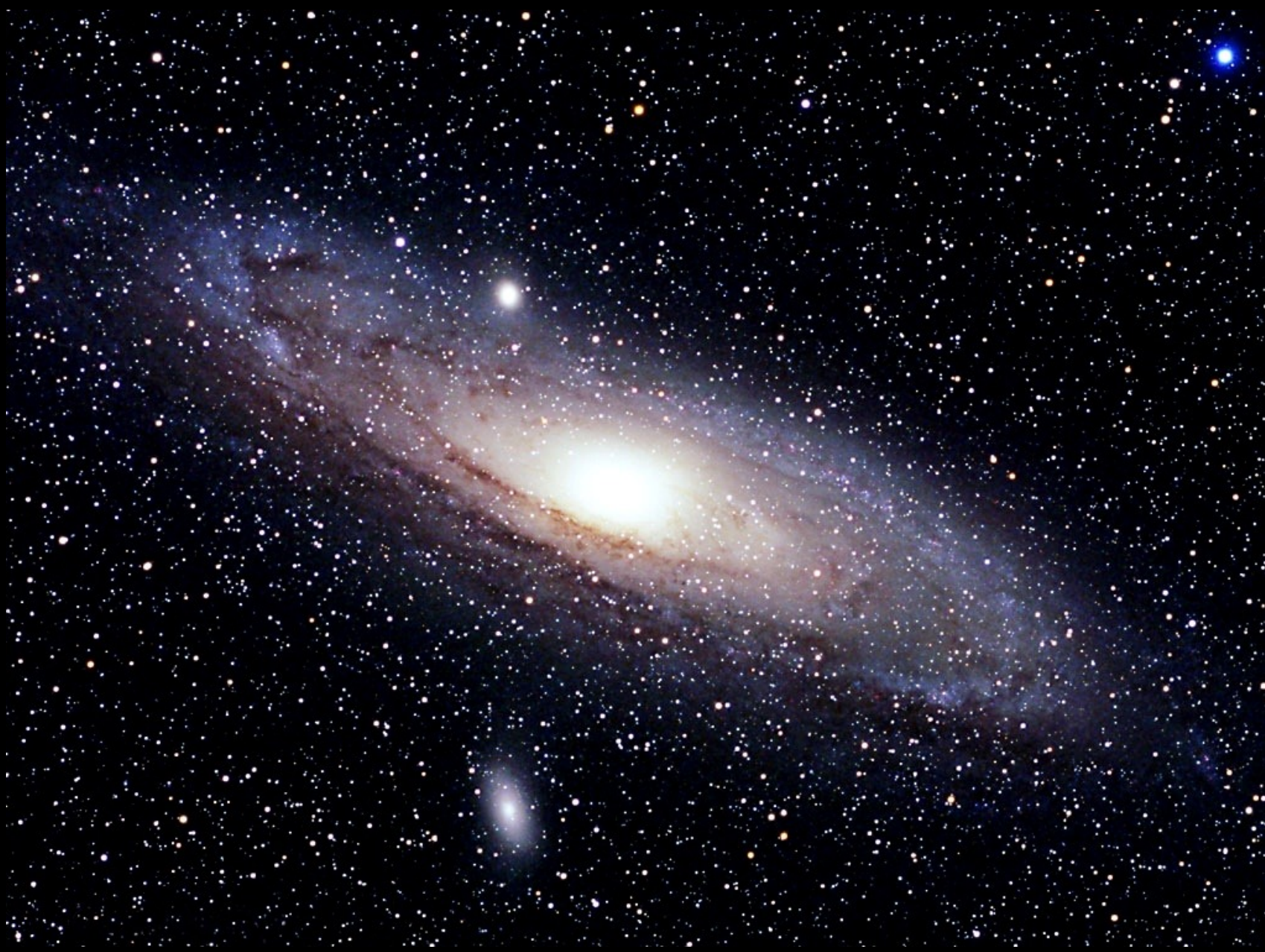


EFFONDREMENT  
GRAVITATIONNEL  
EXTERIEUR FROID



FRAGMENTATION

FORMATION  
D'UN DISQUE  
STELLAIRE



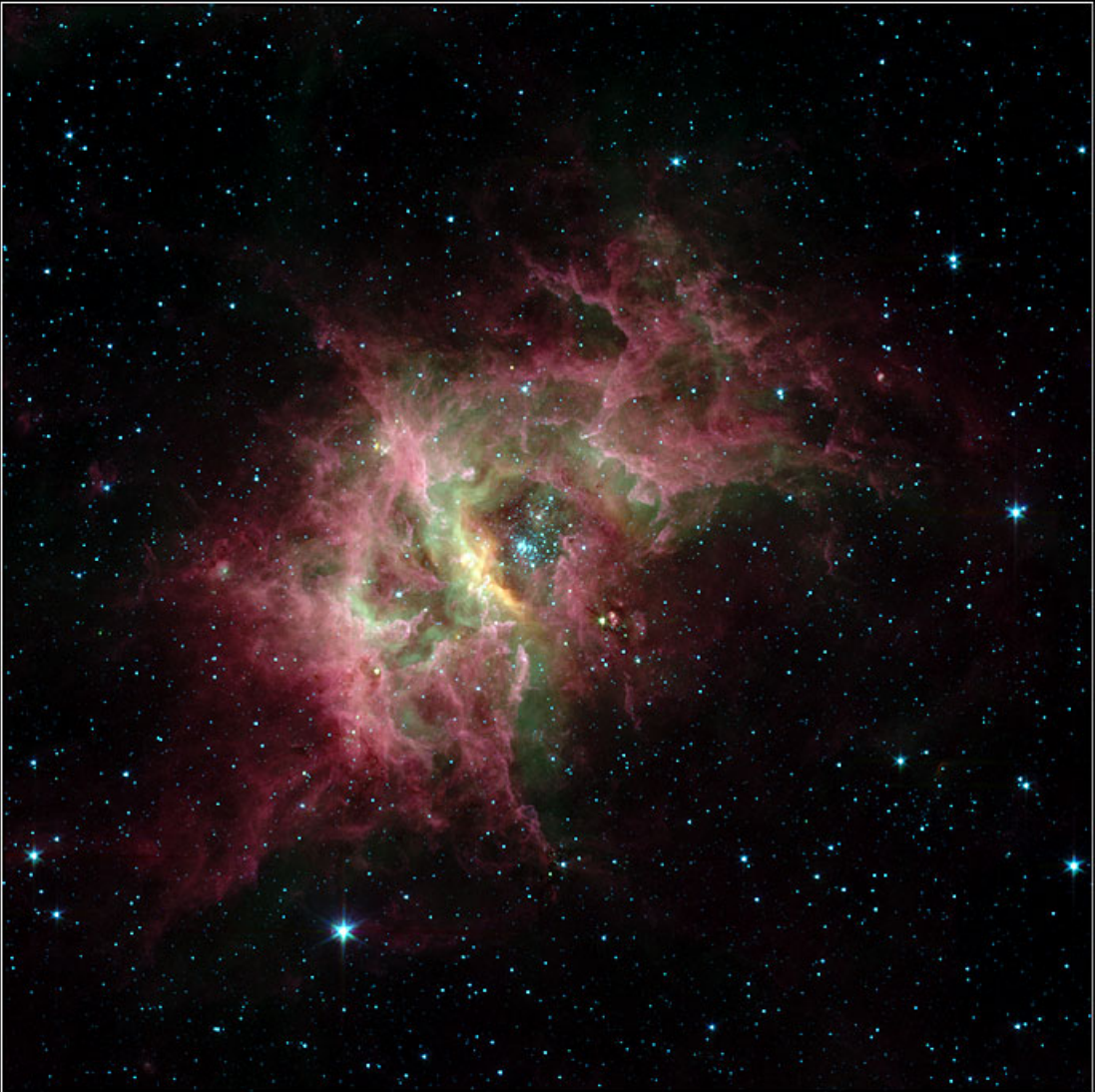




The Horsehead Nebula — Barnard 33



HUBBLE SITE.org



Star Formation in RCW49

Spitzer Space Telescope • IRAC

NASA / JPL-Caltech / E. Churchwell (Univ. of Wisconsin)

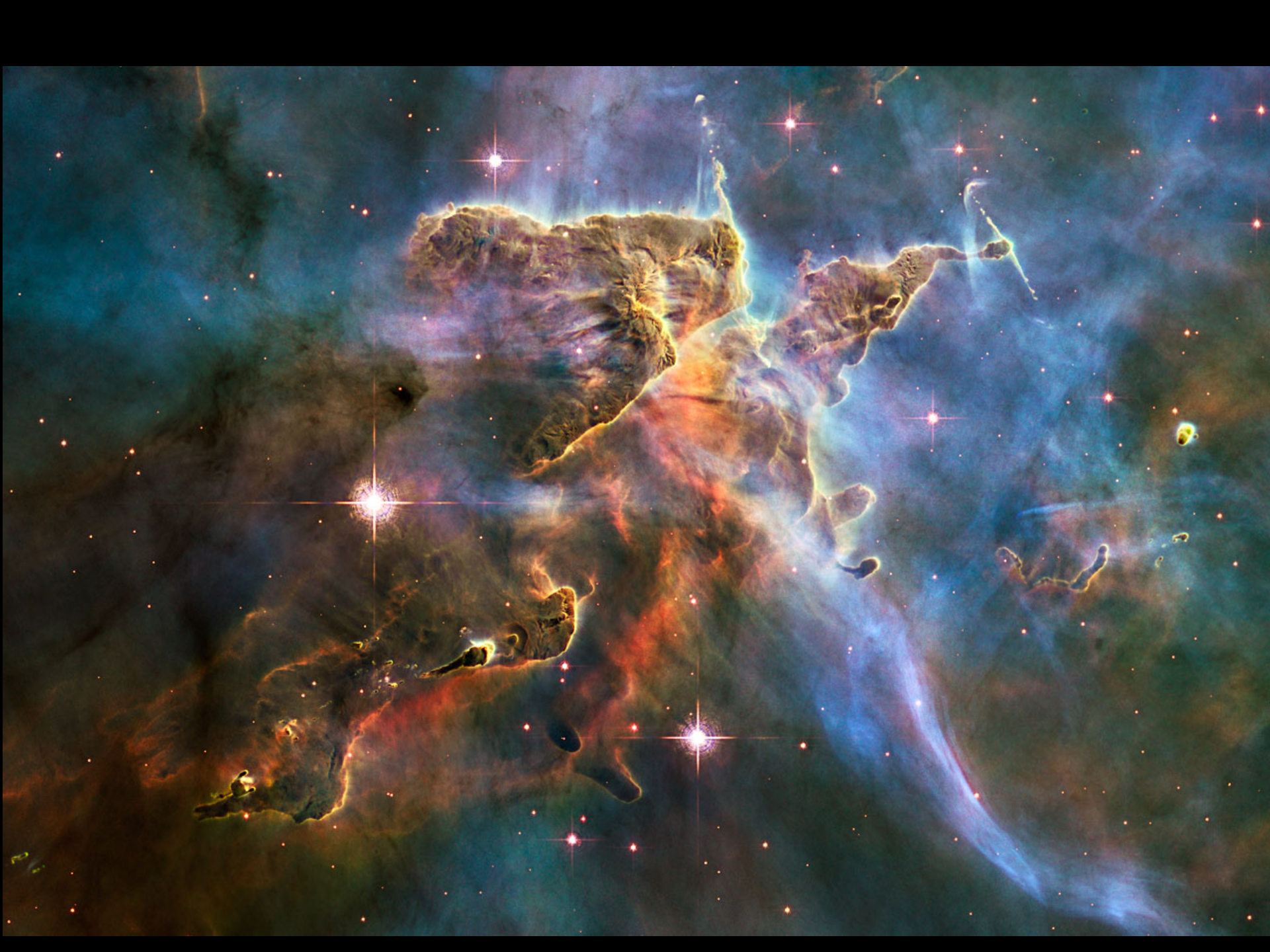
ssc2004-08a

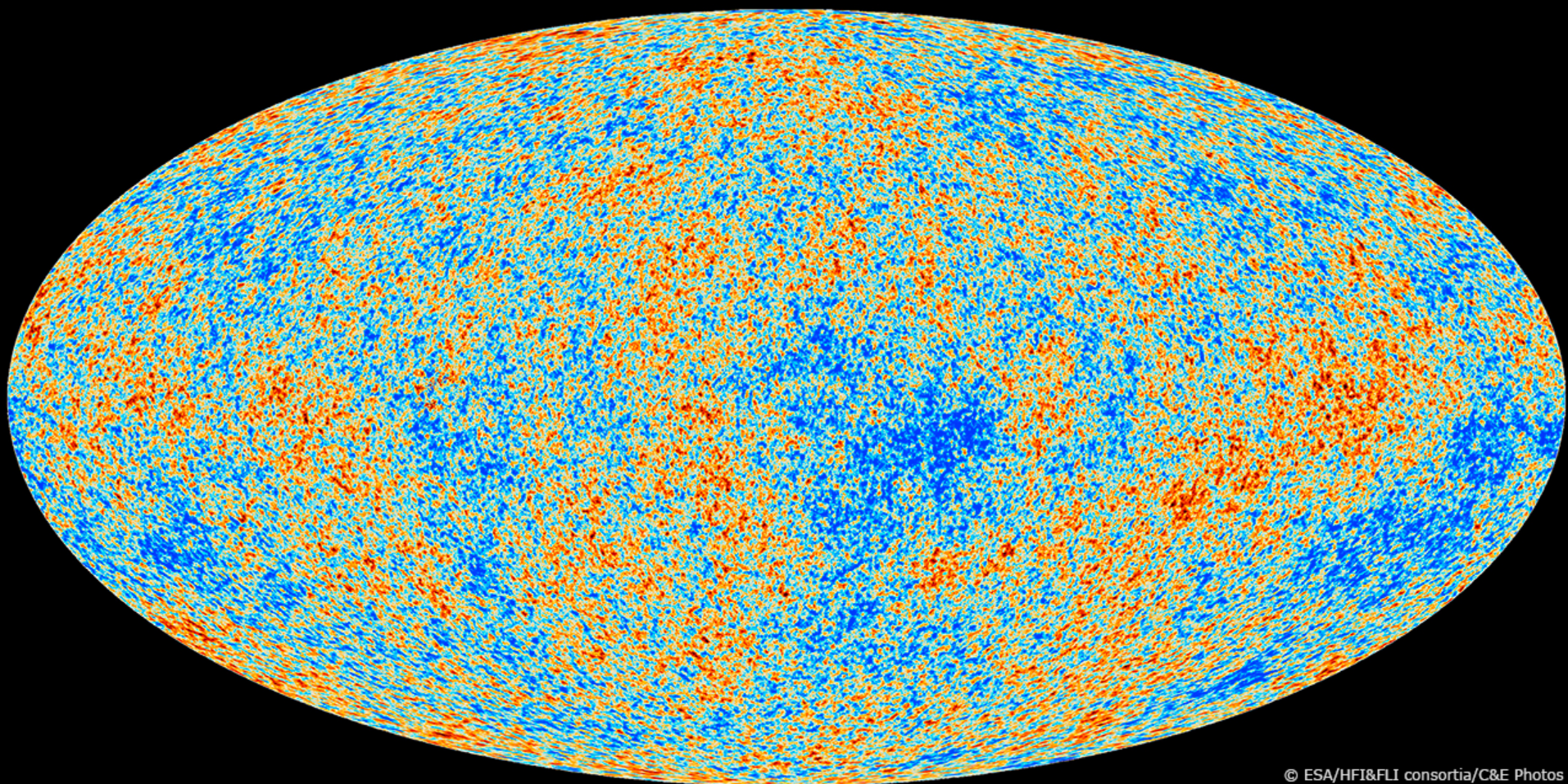


Télescope Infrarouge  
*Spitzer*



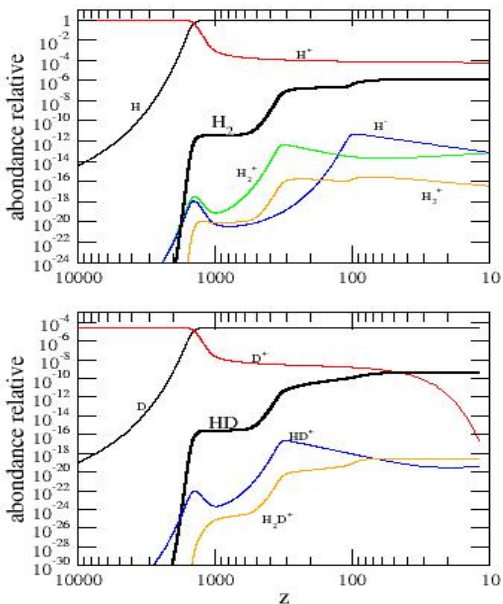
**En 2005, Spitzer mis en évidence environ 300 protoétoiles accompagnés de disque d' accrédition (futur système solaire) dans la nébuleuse RCW49.**



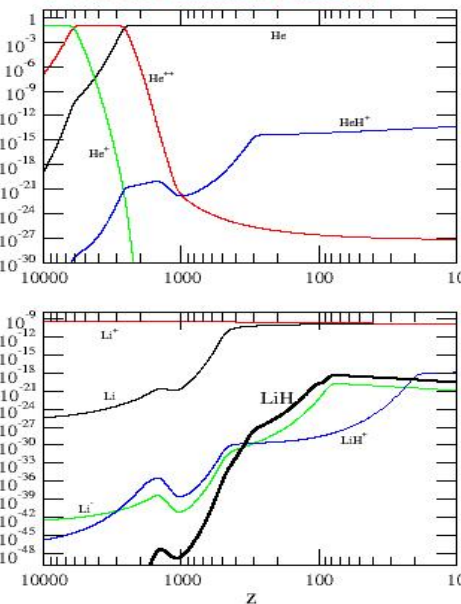


© ESA/HFI&FLI consortia/C&E Photos

$z=10\ 000$  ( $t \sim 7000$  ans)  
 $z=1000$  ( $t \sim 450\ 000$  ans)

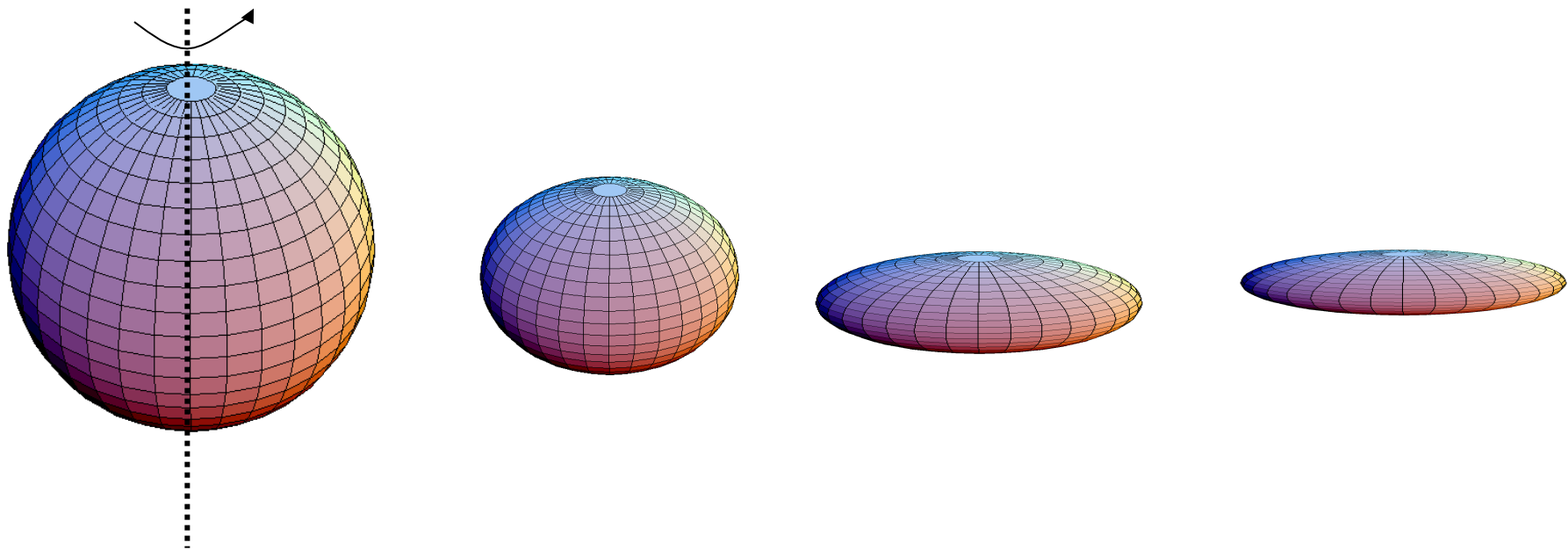


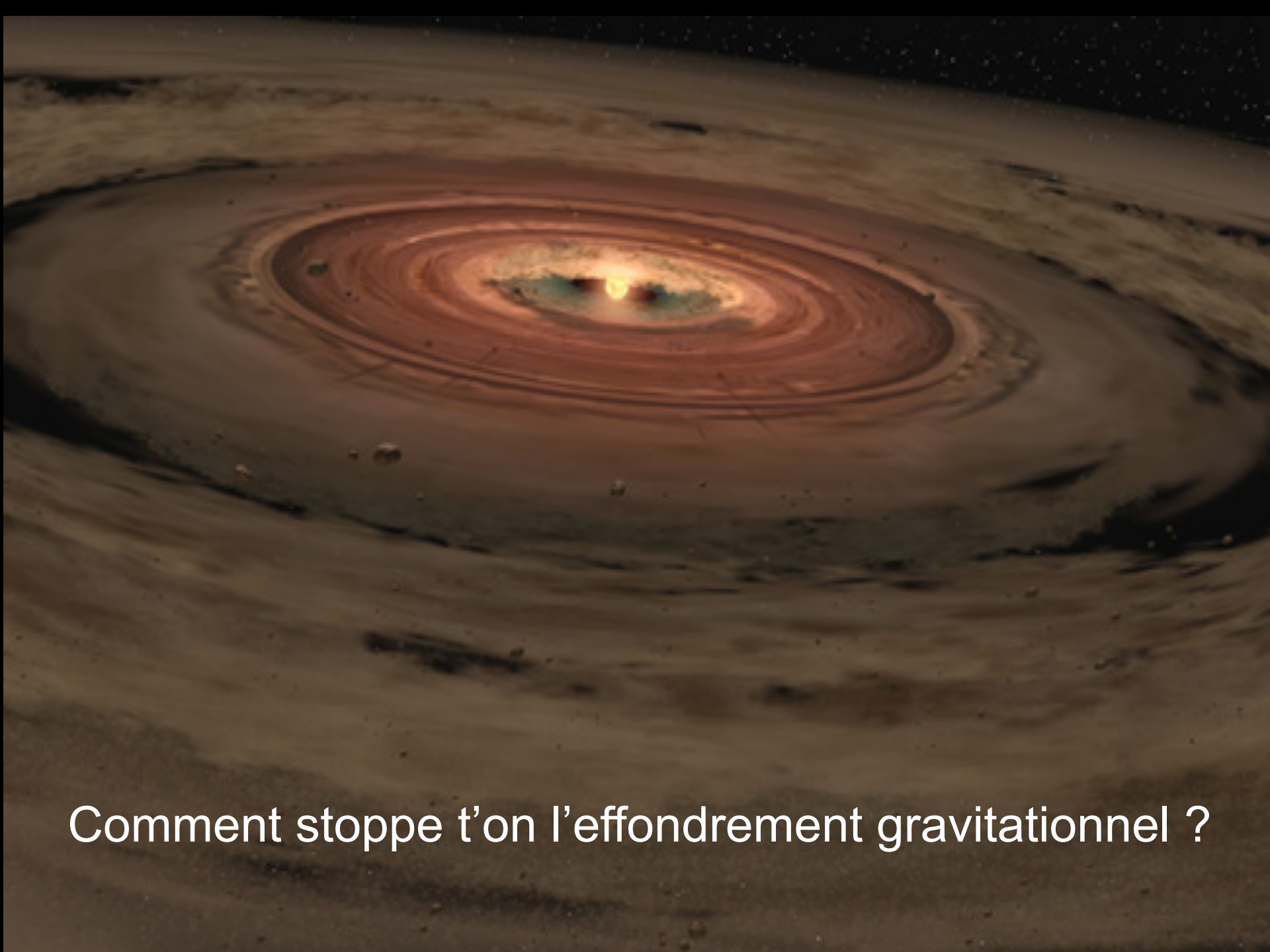
$z=100$  ( $t=17$  millions d'années)  
 $z=10$  ( $t=555$  millions d'années)  
 $z=0$  ( $t=13.6$  milliards d'années)



L'existence  
de molécules primordiales  
peut engendrer des étoiles,  
très tôt dans l'histoire de  
l'Univers

?





Comment stoppe t'on l'effondrement gravitationnel ?

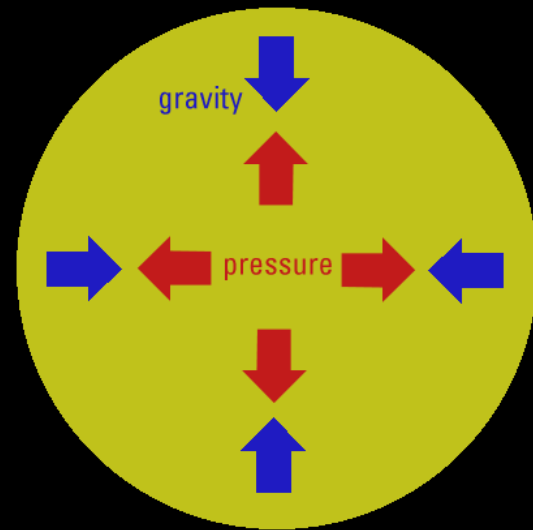
# FORCES DE « PRESSION » POUVANT « S' OPPOSER » AUX FORCES GRAVITATIONNELLES

1- FORCE DE COHESION SOLIDE ET MOLECULAIRE  
ROCHES

2- FORCE ATOMIQUE ET ELECTROMAGNETIQUE  
PARTICULES CHARGÉES

3- FORCE NUCLEAIRES  
FUSION DE NOYAUX, RAYONNEMENT

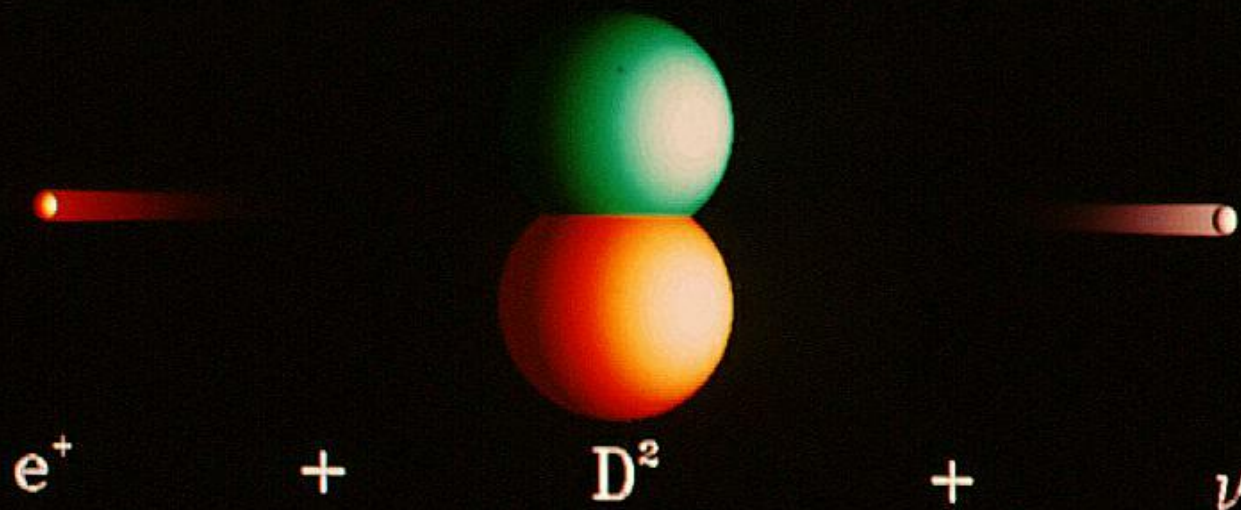
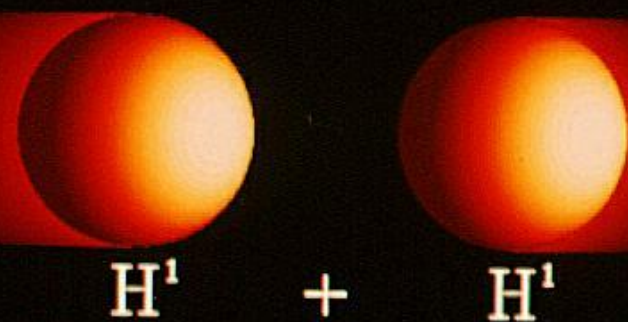
4- FORCES ELEMENTAIRES  
FORCES FONDAMENTALES AU CONFINEMENT



L' opposition forces de pression et gravitation  
va dépendre de la masse en effondrement

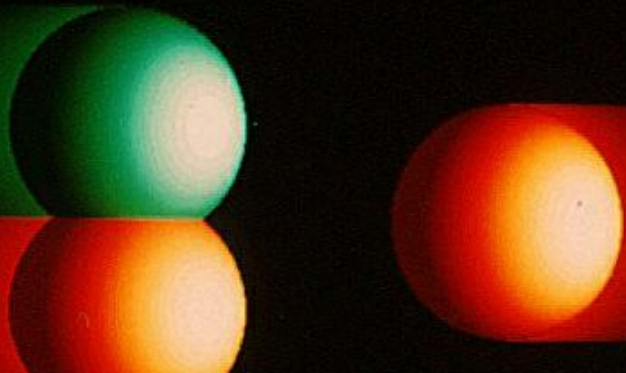
Pour une étoile, il s'agit de la force nucléaire

# STEP 1



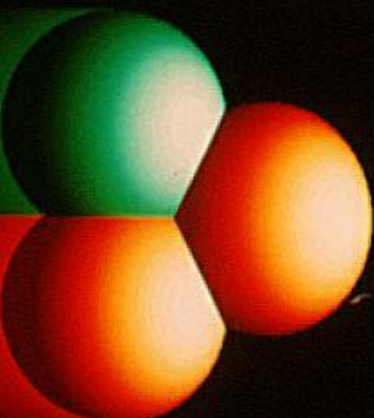
NASA/NSSTC/Hathaway

STEP 2



$\gamma$

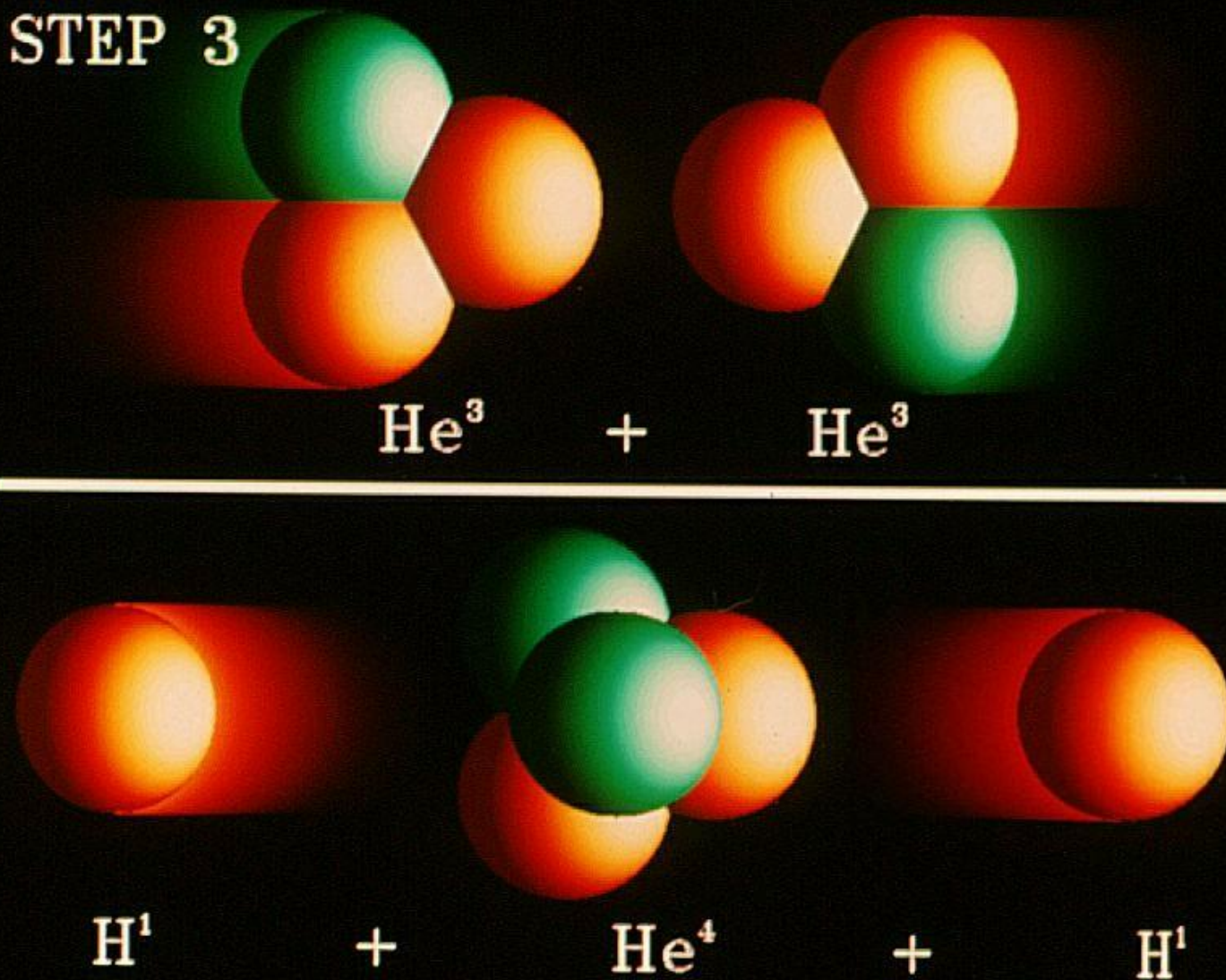
+



$He^3$

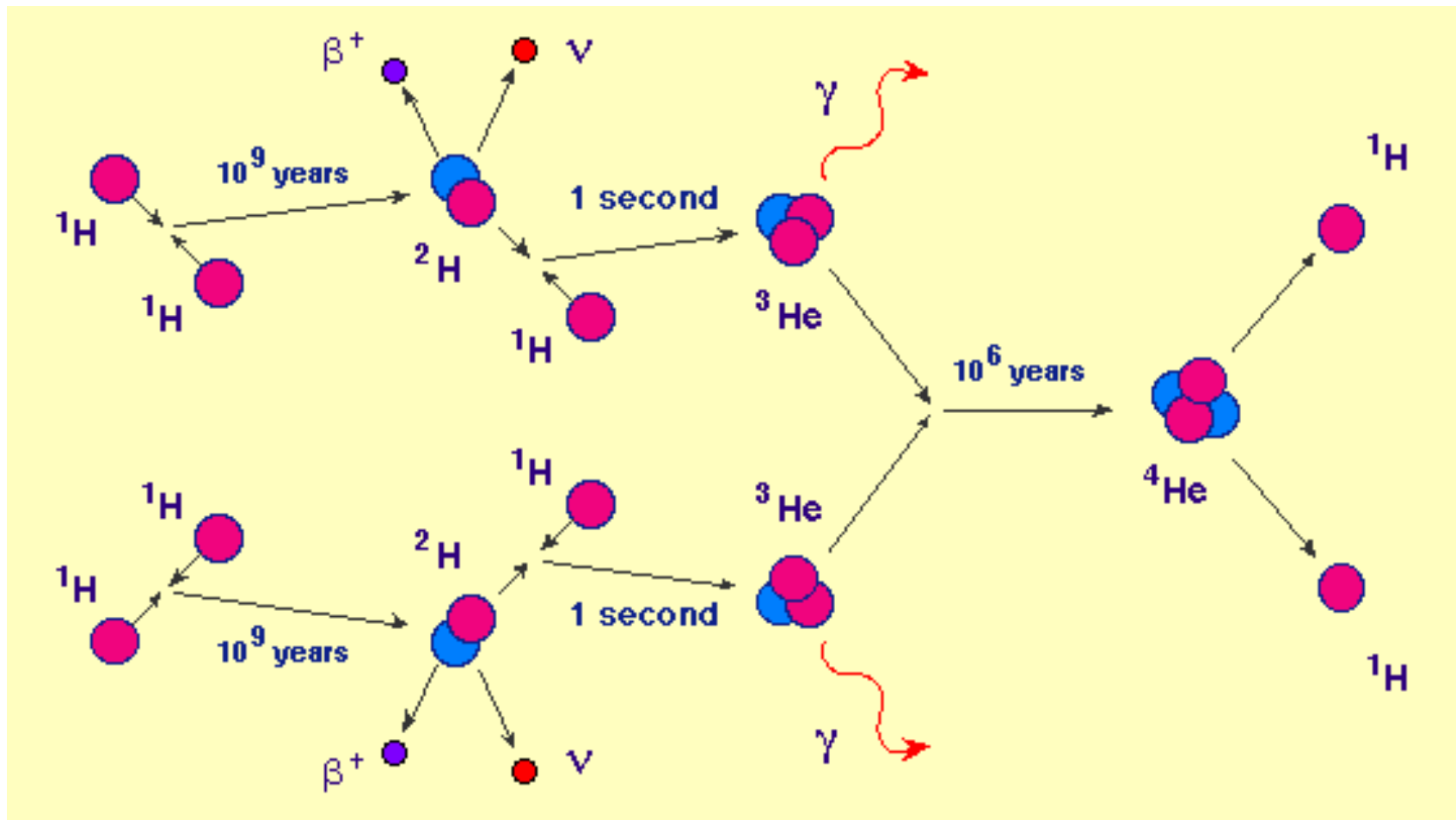
NASA/NSSTC/Hathaway

### STEP 3



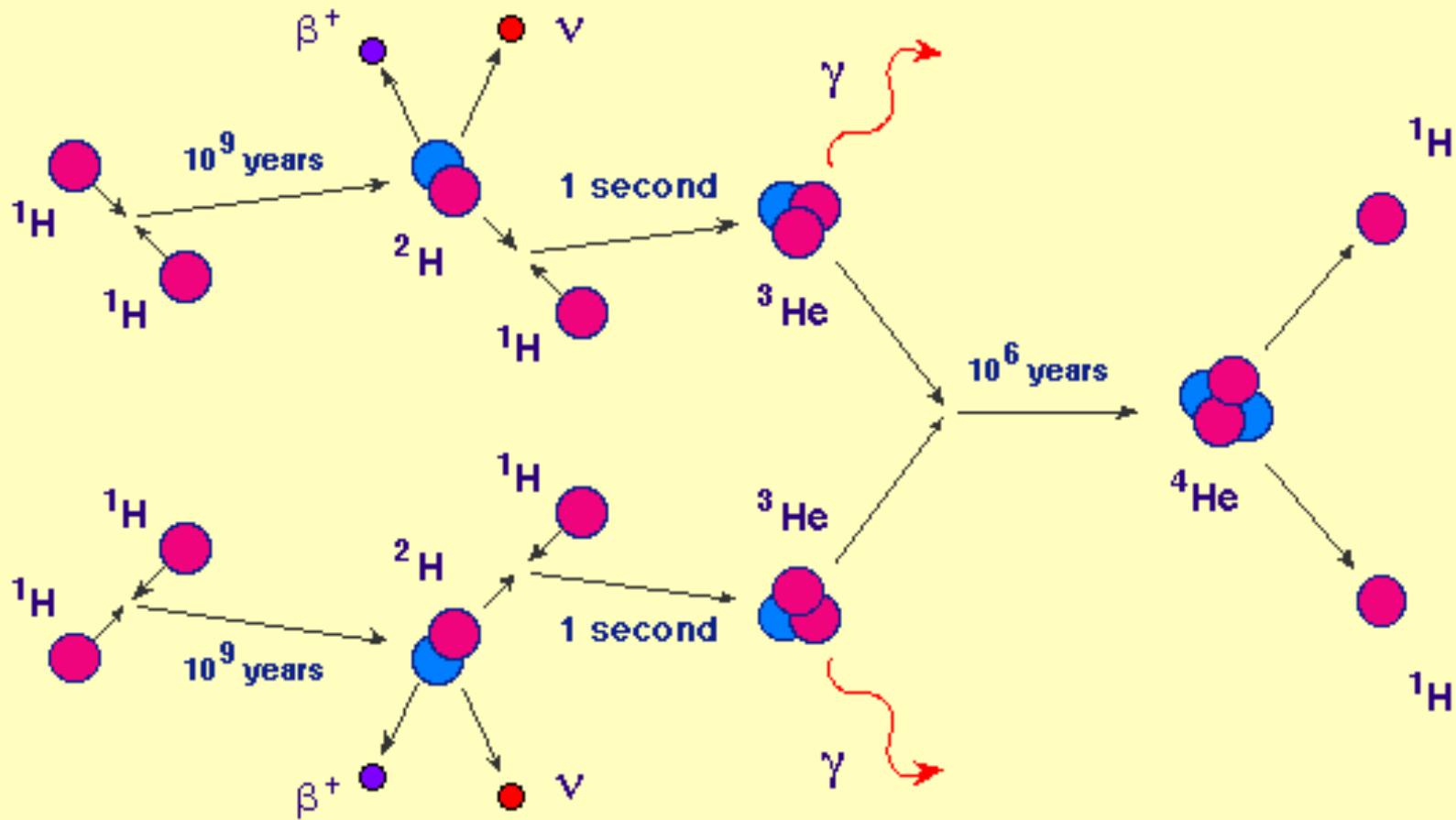
NASA/NSSTC/Hathaway

# Chaîne p-p : 1<sup>ère</sup> phase de l'étoile



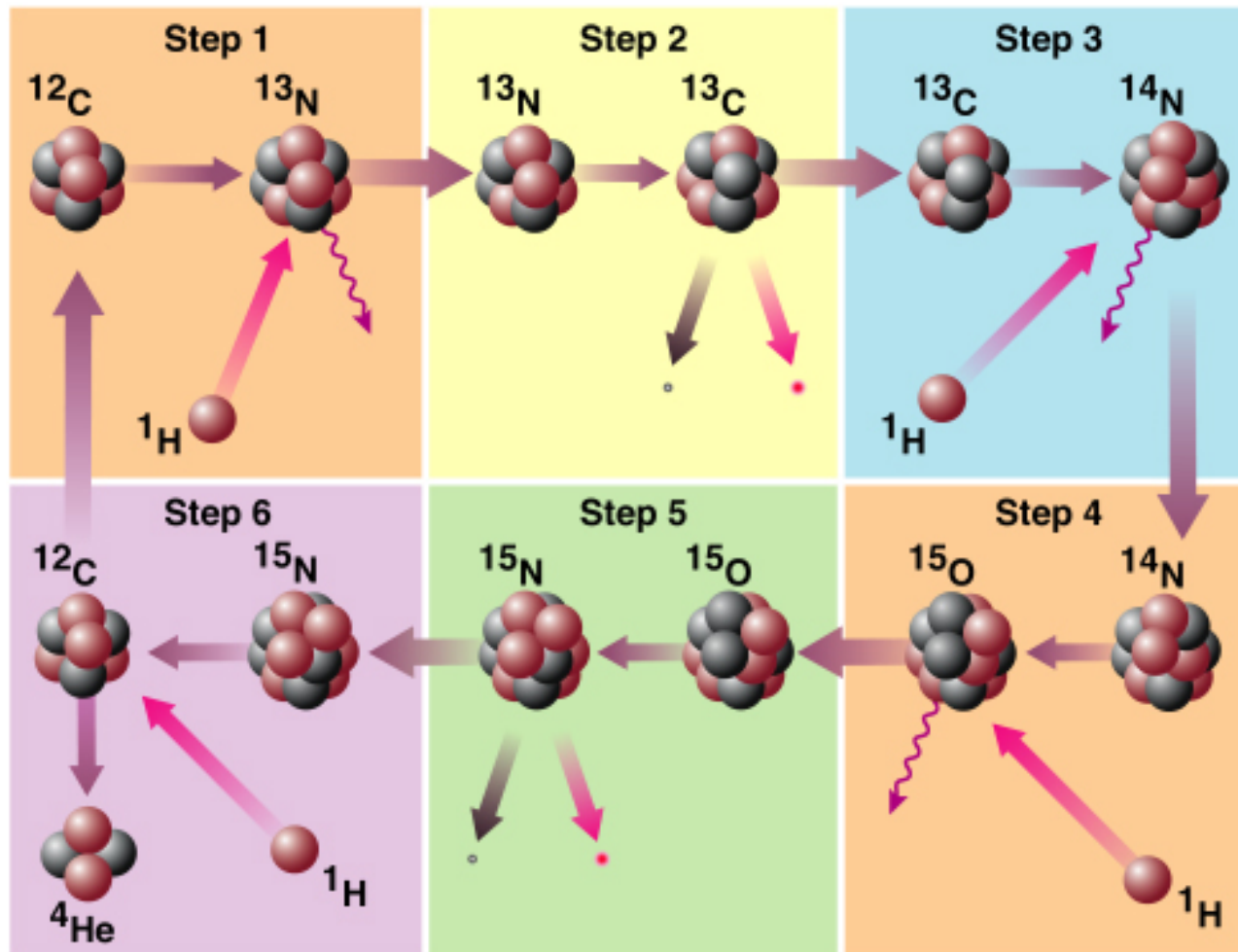
Durée: entre plusieurs milliards d'années et quelques dizaines de Millions d'années, dépend de la masse de l'étoile

# Lorsque la chaîne p-p est finie ?



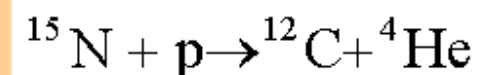
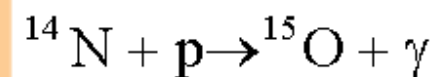
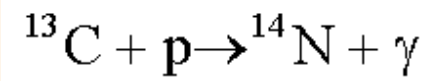
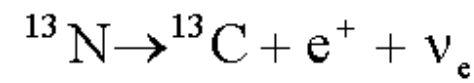
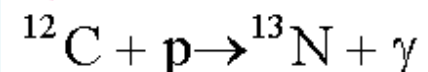
Que se passe t-il ?

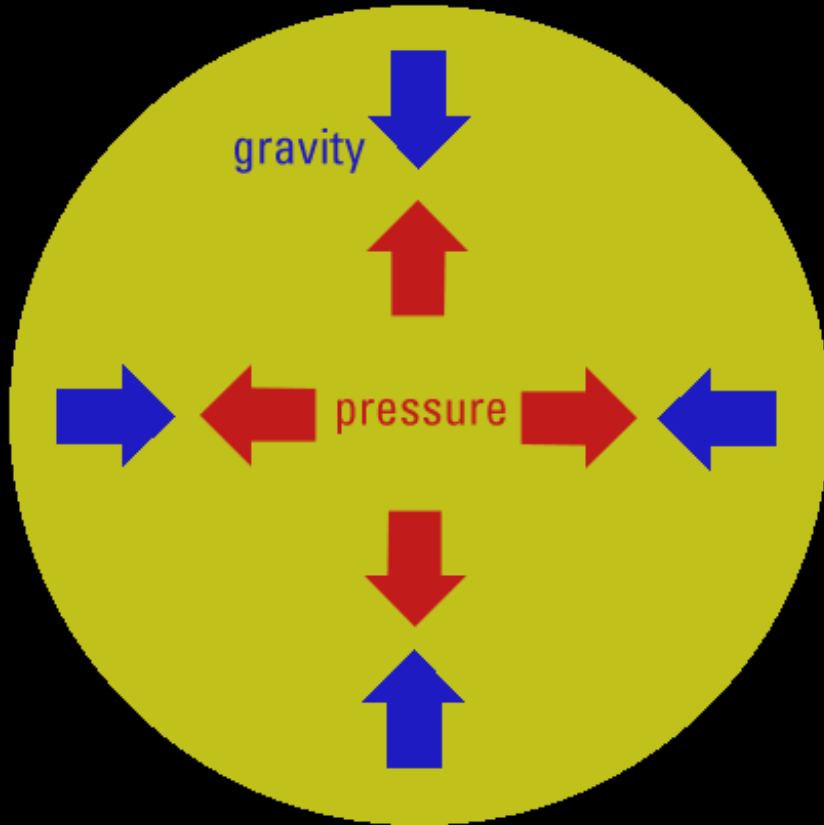
# Cycle CNO



Key:

- electron
  - neutrino
  - positron
- gamma ray
  - neutron
  - proton





L' arrêt des réactions de chaîne pp



Les effets de pression diminuent  
La gravité contracte le cœur



Le début des premières réactions du cycle CNO est violente

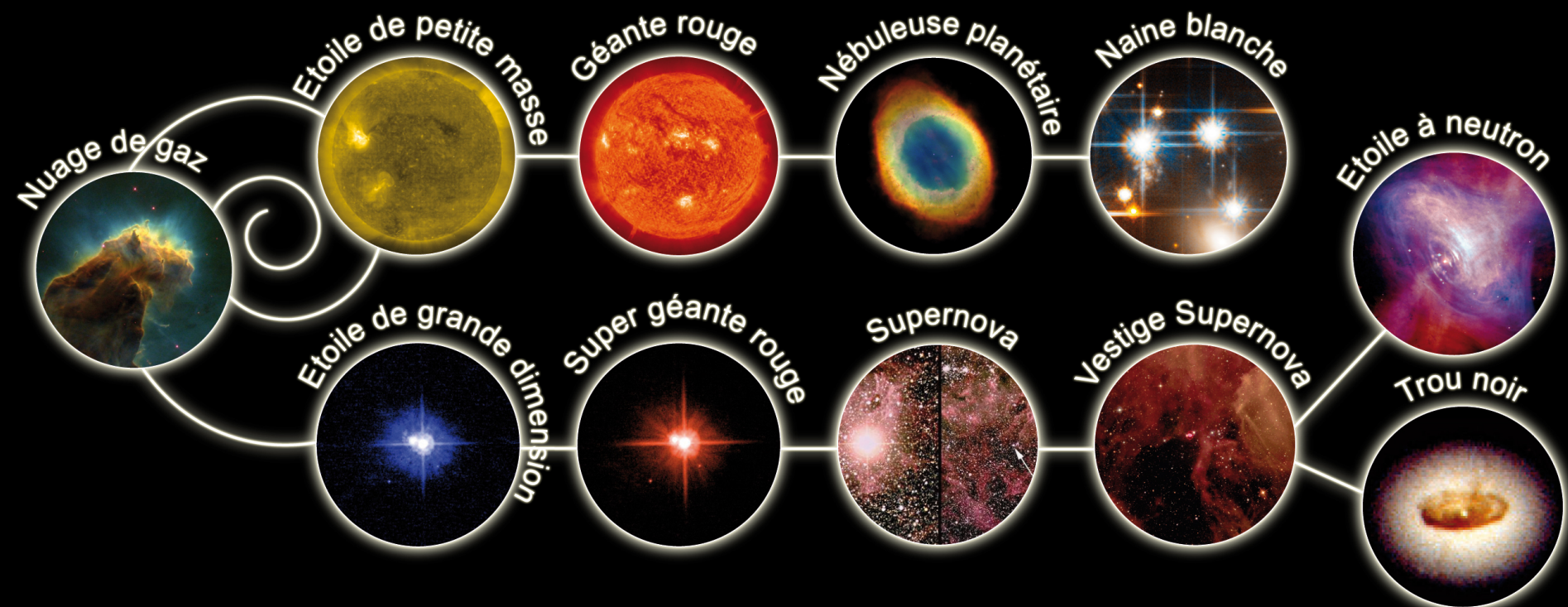


Effet de « souffle »  
Le rayon de l'étoile croît fortement



CONSTITUTION  
D' UNE GÉANTE ROUGE

# La vie d'une étoile



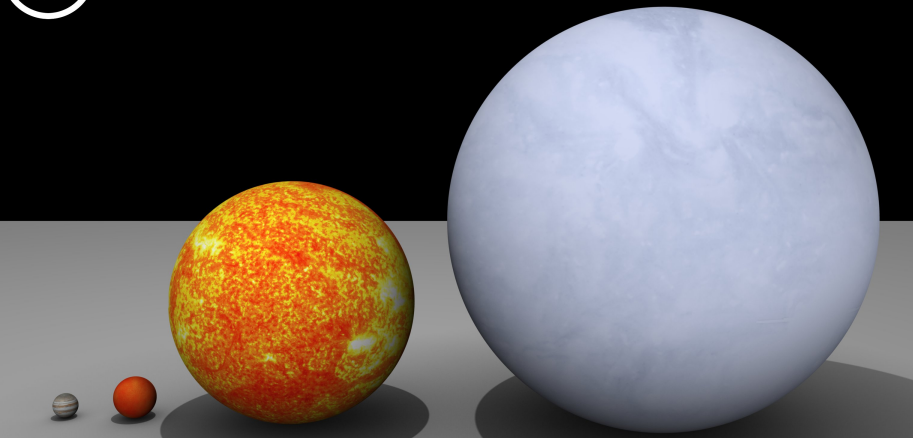
① Mercury < Mars < Venus < Earth



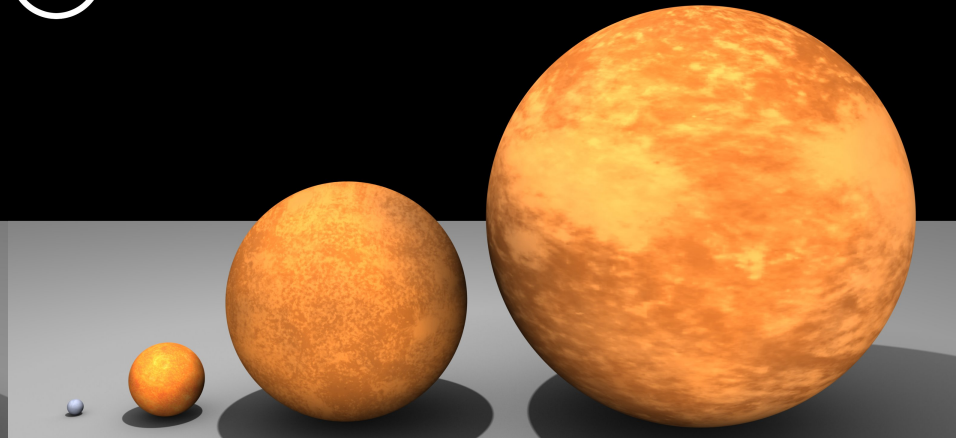
② Earth < Neptune < Uranus < Saturn < Jupiter



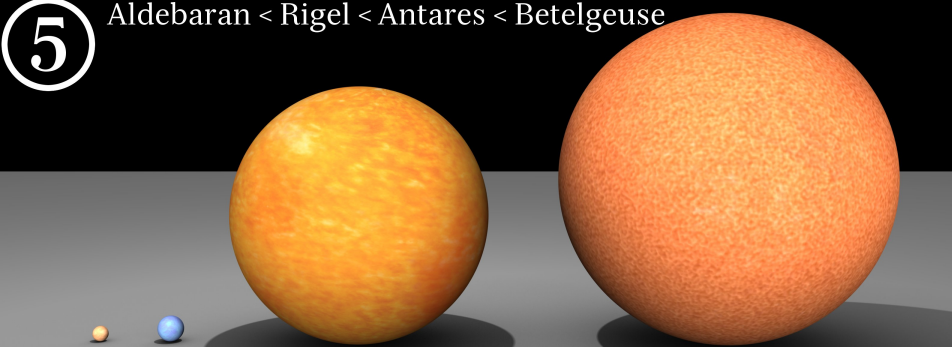
③ Jupiter < Wolf 359 < Sun < Sirius



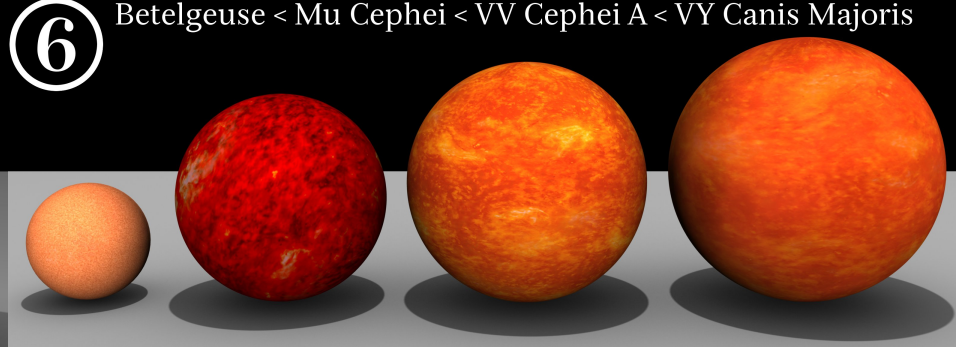
④ Sirius < Pollux < Arcturus < Aldebaran



⑤ Aldebaran < Rigel < Antares < Betelgeuse



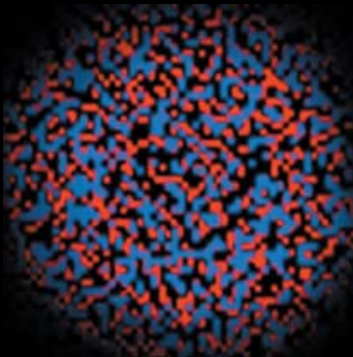
⑥ Betelgeuse < Mu Cephei < VV Cephei A < VY Canis Majoris



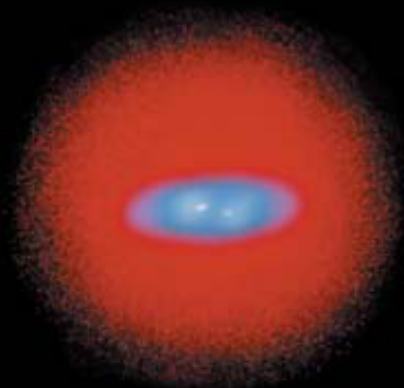
VY Canis Majoris

Sun

# POSSIBLE HISTOIRE DE LA FORMATION DES PREMIÈRES ÉTOILES



Croissance des surdensités de matière



Formation de proto nuages moléculaires



Effondrement gravitationnel  
Formation d' étoiles massives



Evolution « rapide » des étoiles massives  
Explosion de Supernovae



Ionisation du milieu

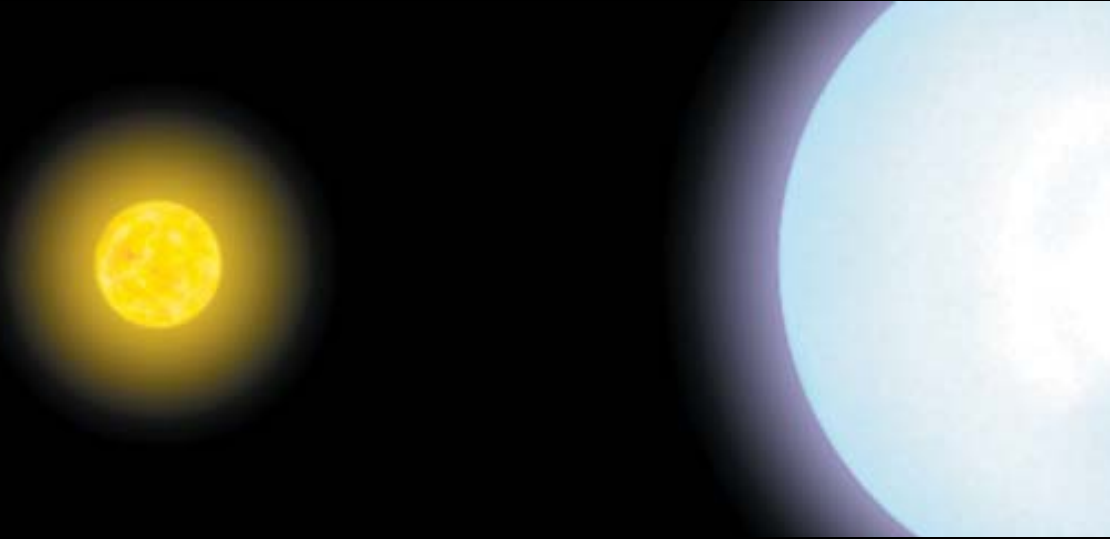


Regroupement gravitationnel



Formation de galaxies

# ETOILES PRIMORDIALES



## SOLEIL

Masse:  **$2 \cdot 10^{30}$  kg**

Rayon: **696 000 km**

Temps de vie: **10 milliards d' années**

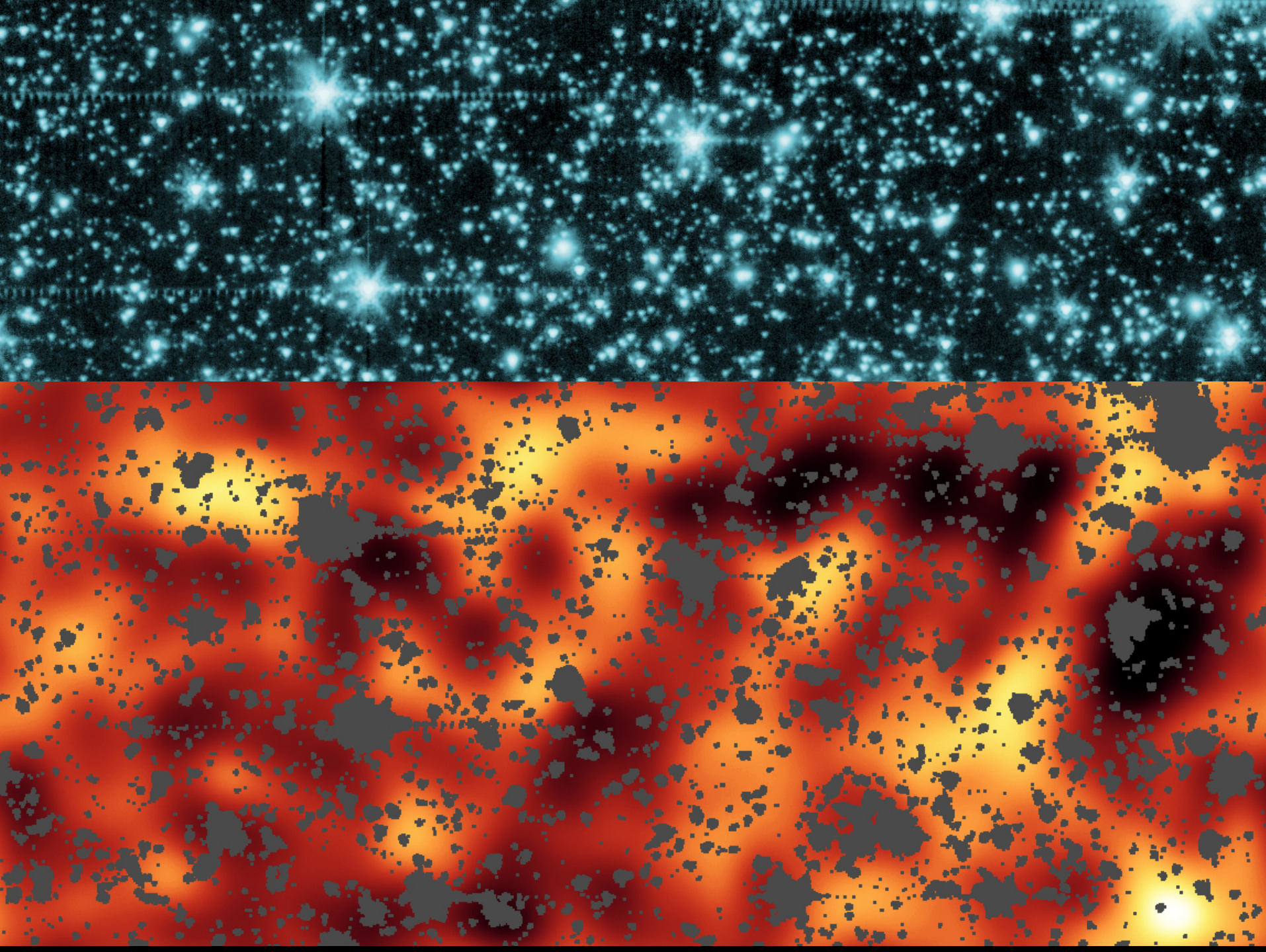
## PREMIÈRES ÉTOILES

Masse: **50 à 100 fois la masse du soleil**

Rayon: **4 à 50 fois le rayon du soleil**

Luminosité: **1 million à 30 million de fois la luminosité solaire**

Temps de vie: **3 million d' années**

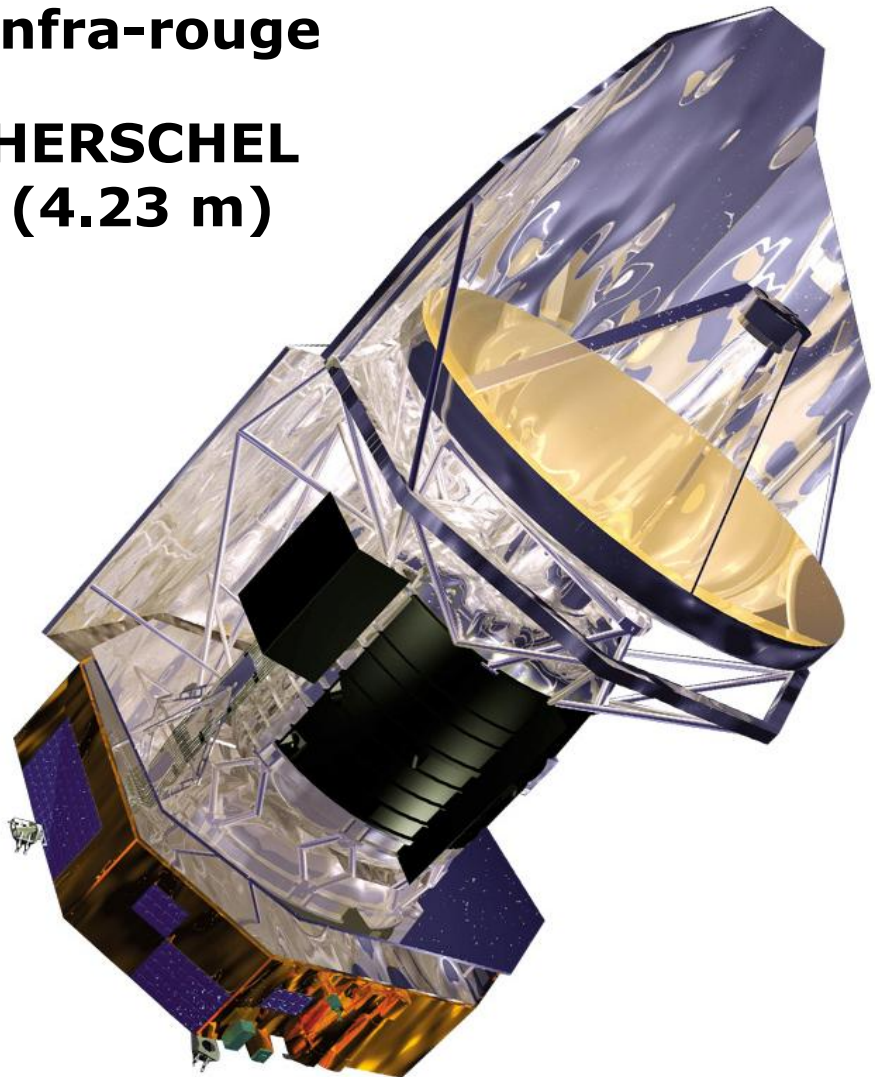


# Herschel Space Telescope

(Miroir 3.5m ,  $\lambda=55-672 \text{ } \mu\text{m}$ )

**Infra-rouge**

**HERSCHEL**  
**(4.23 m)**



**Formation stellaire**

**Signature moléculaire**

**Objets froids**

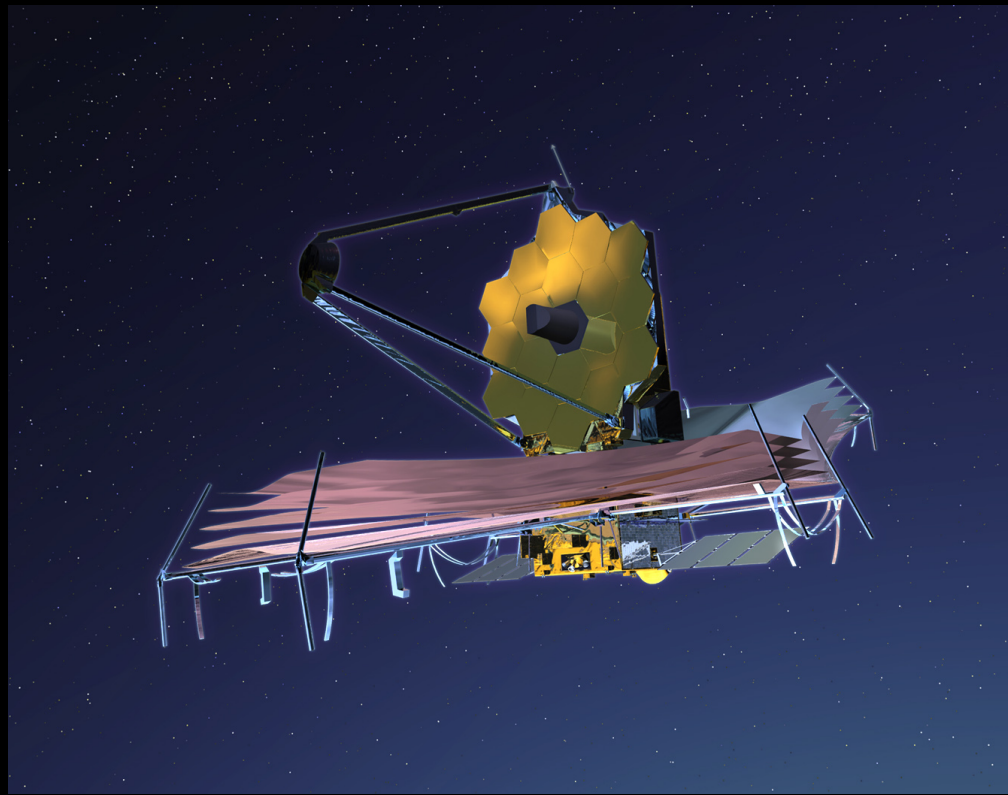
# Atacama Large Millimeter Area

(66 high-precision antennas of 12 m,  $\lambda=0.3\text{mm}-9\text{mm}$ )



**Alma deep field**  
Signatures moléculaires  
Proto nuages moléculaires

# TELESCOPE SPATIAL NASA - 2015



**Satellite James Webb**  
Evolution des galaxies  
Signatures de premières galaxies

# SATELLITE PLANCK

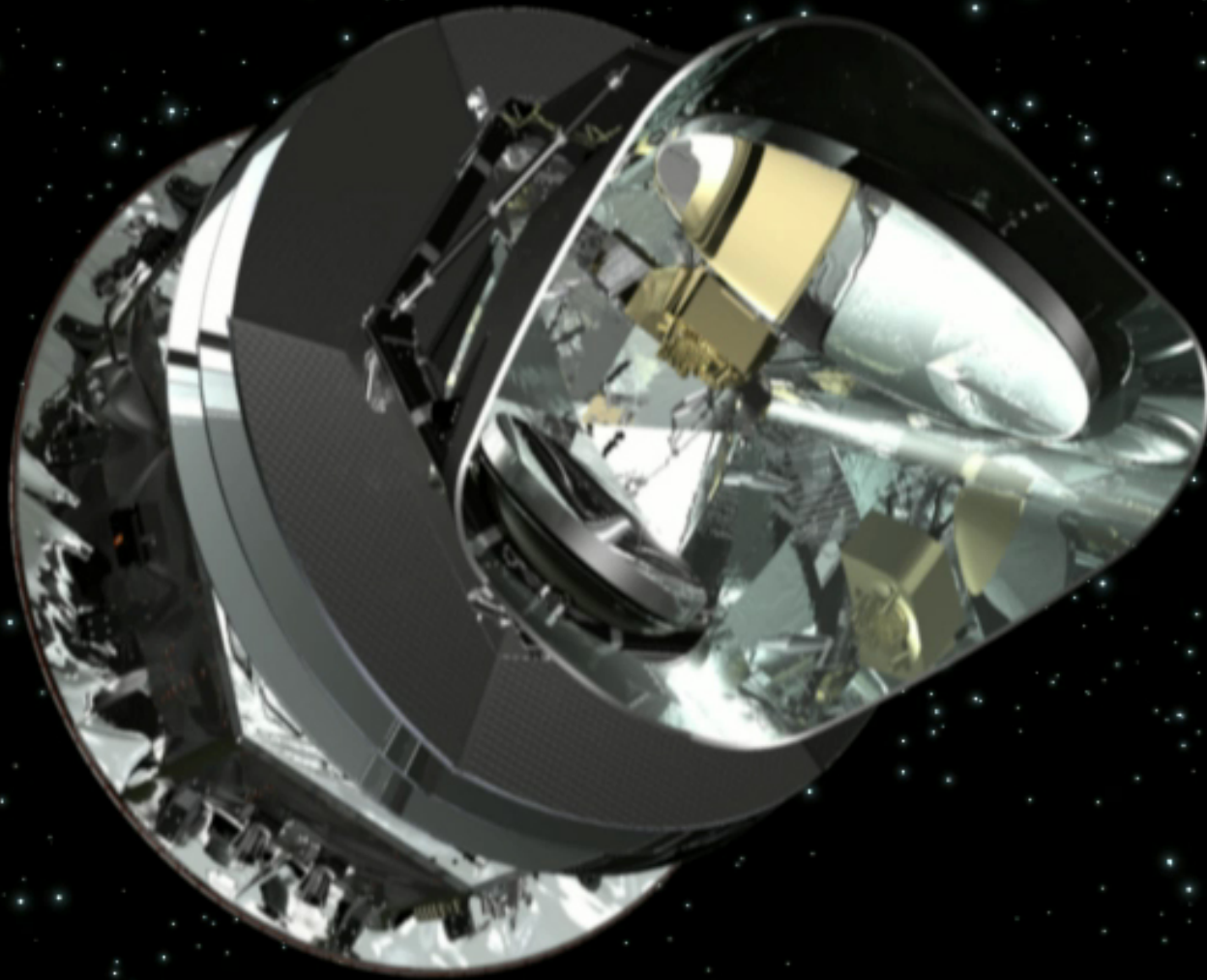
(2009-2013)

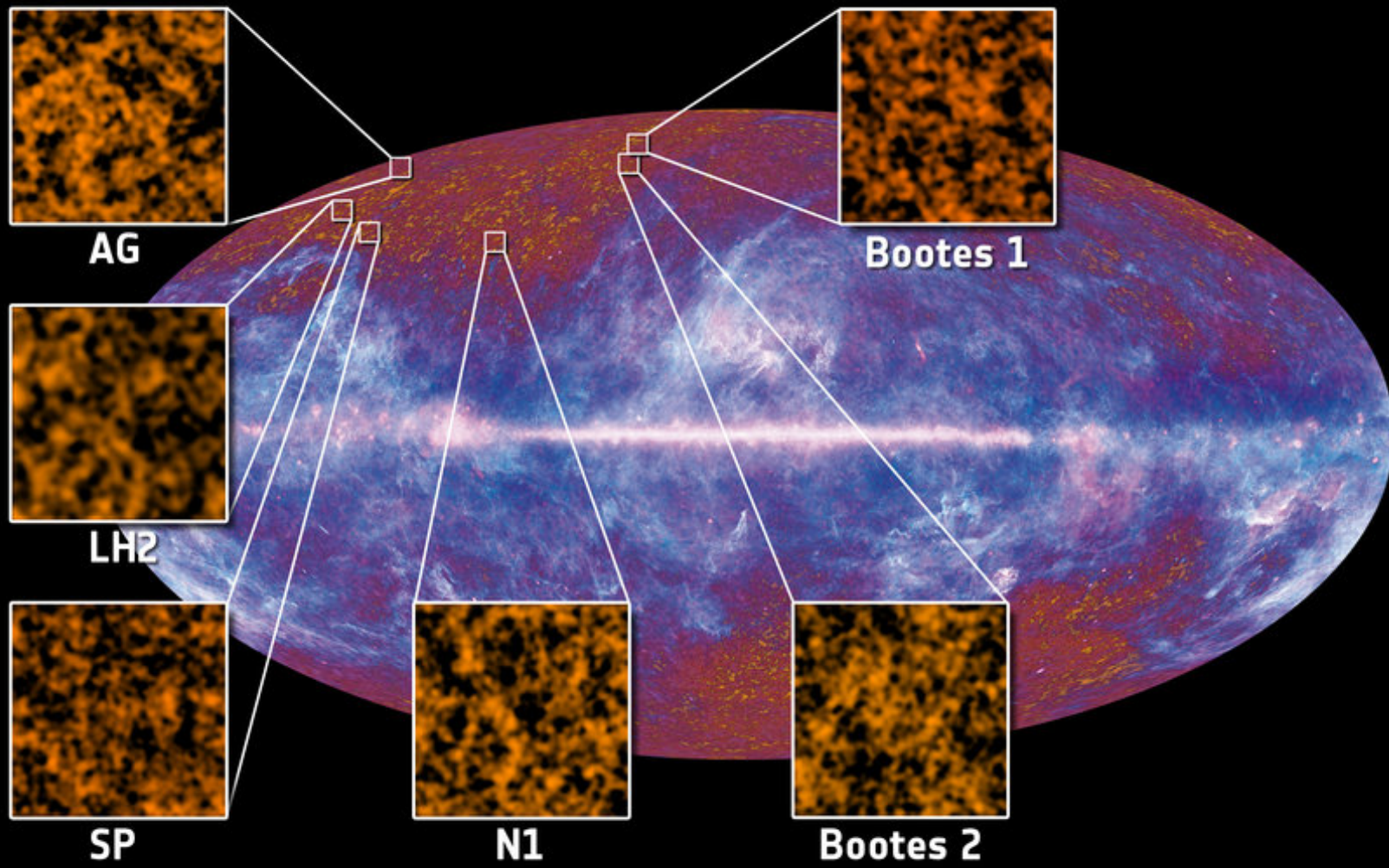
Miroir de 1m50 de diamètre

Bandes de fréquences

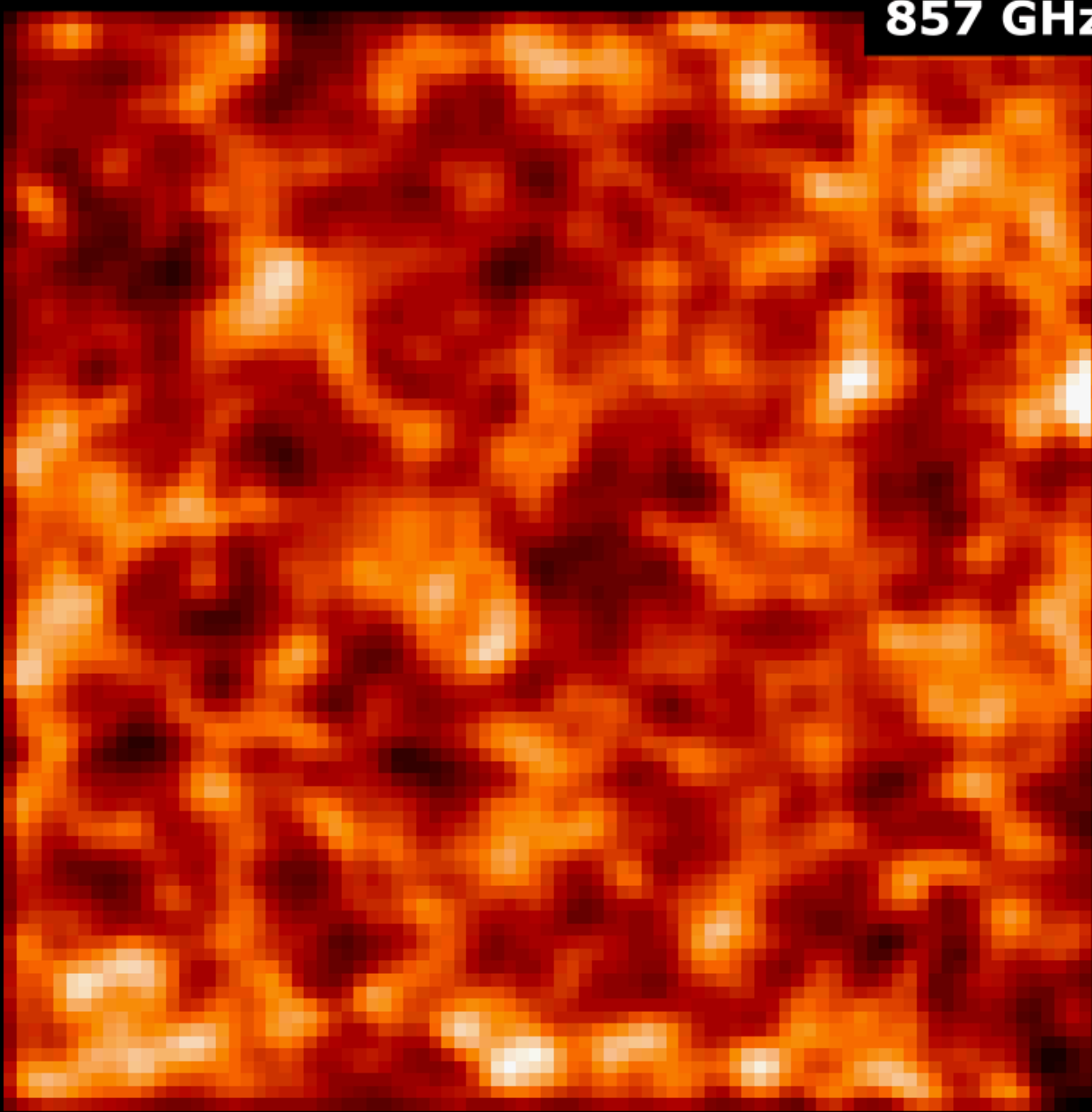
100, 143, 217, 353, 545 et 857 GHz

30 à 100 GHz

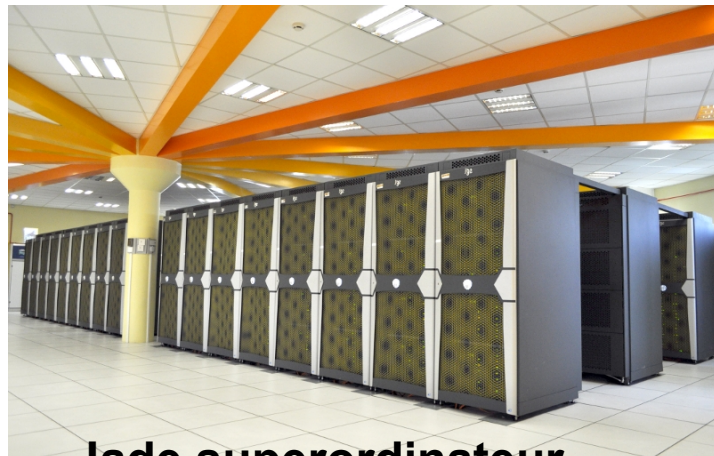
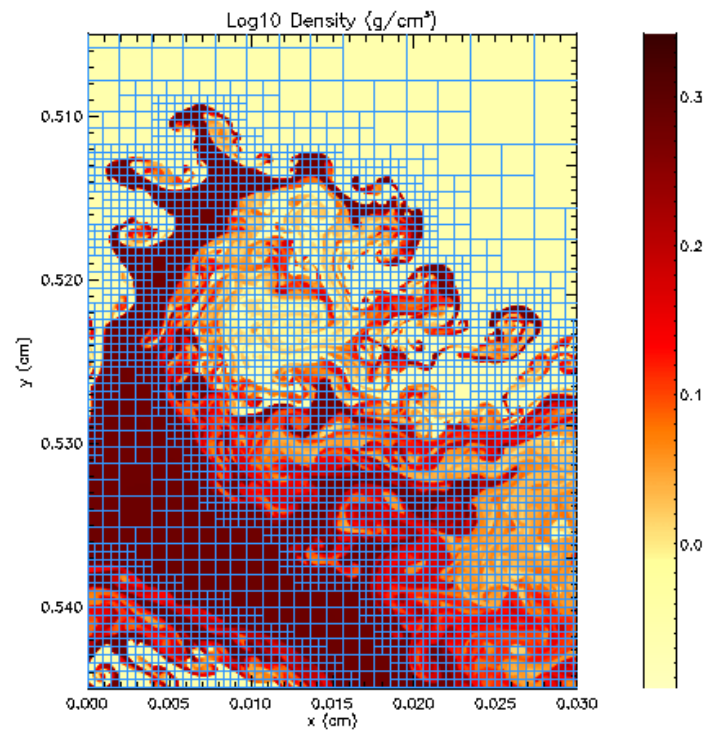
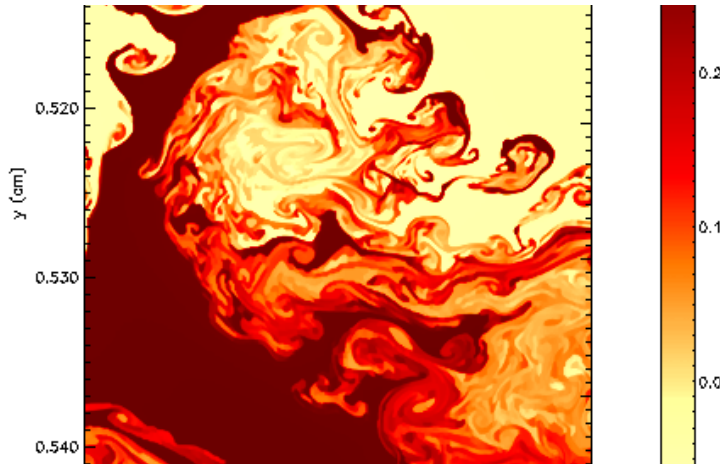




**857 GHz**



# Simulations numériques



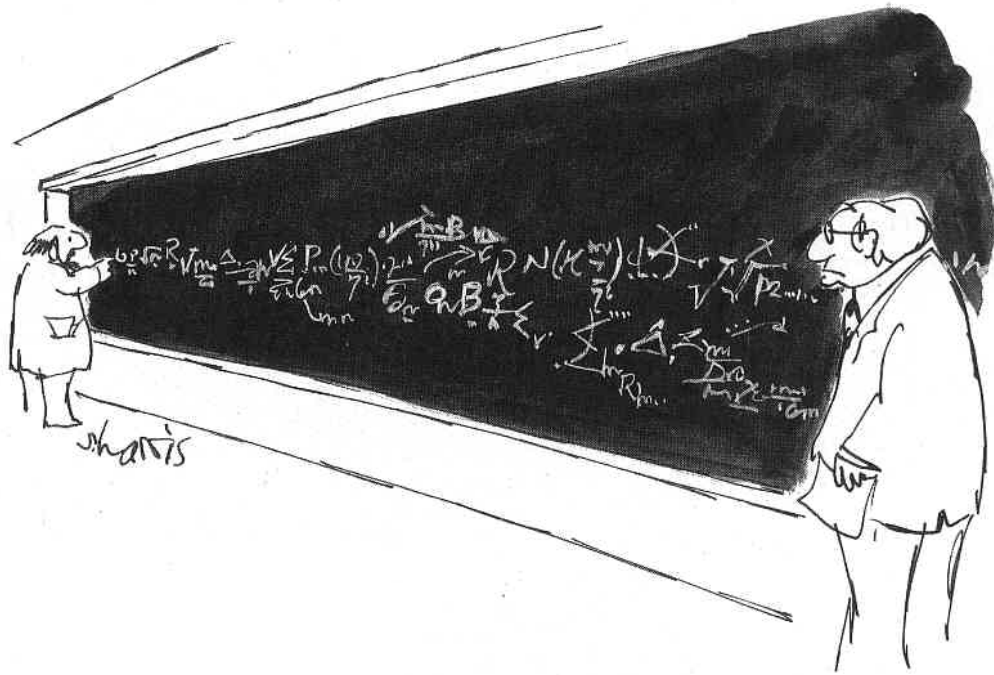
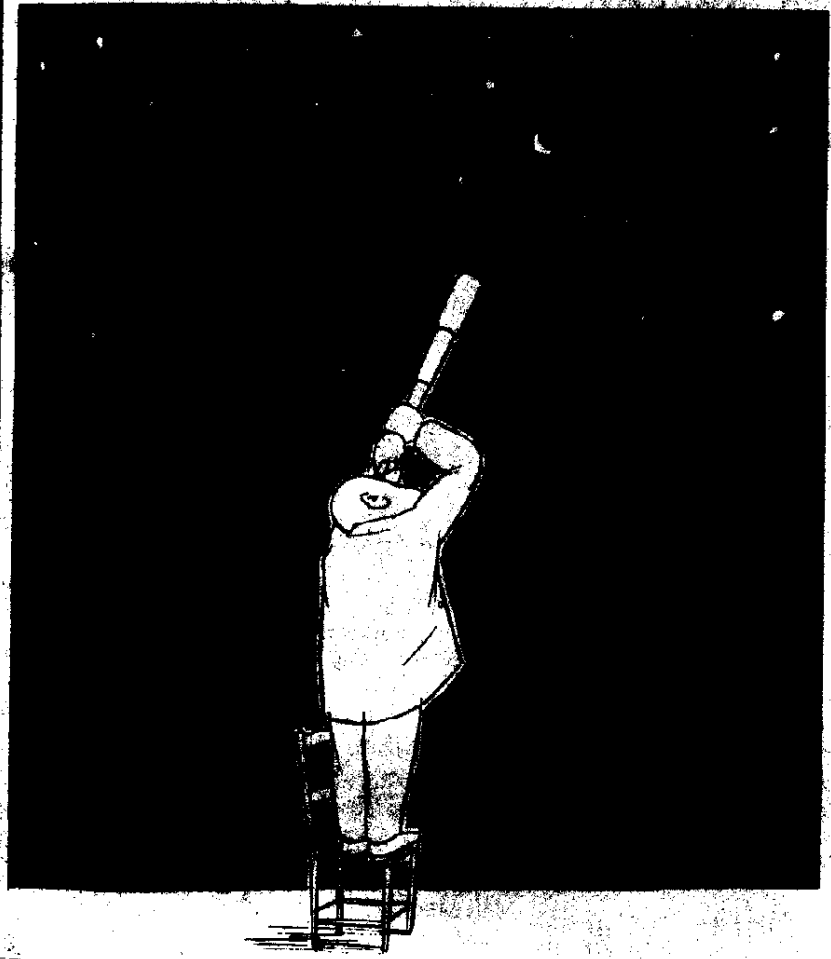
Jade superordinateur  
(CINES Montpellier)



## Artist's View of Star Formation in the Early Universe

Painting by Adolf Schaller • STScI-PRC02-02

# Encore beaucoup de travail OBSERVATIONNEL et THEORIQUE... en perspective



# COSMOLOGY MARCHES ON

